





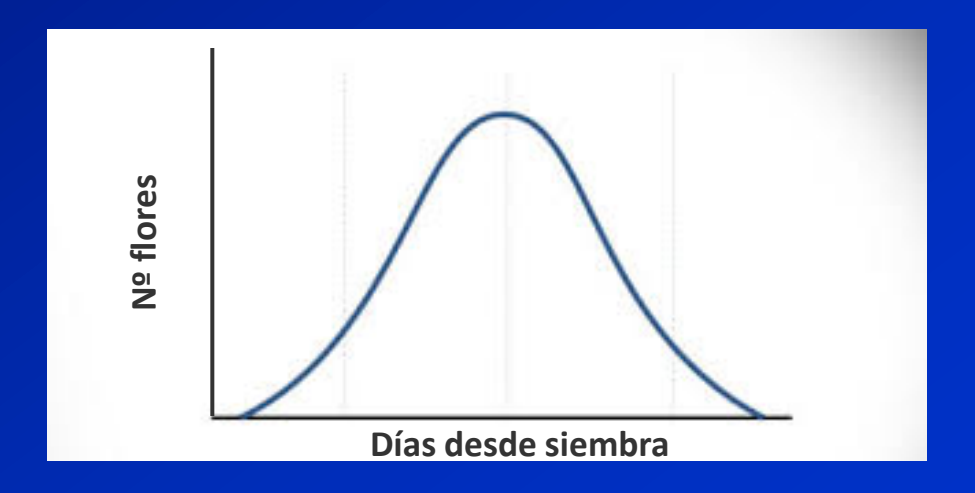


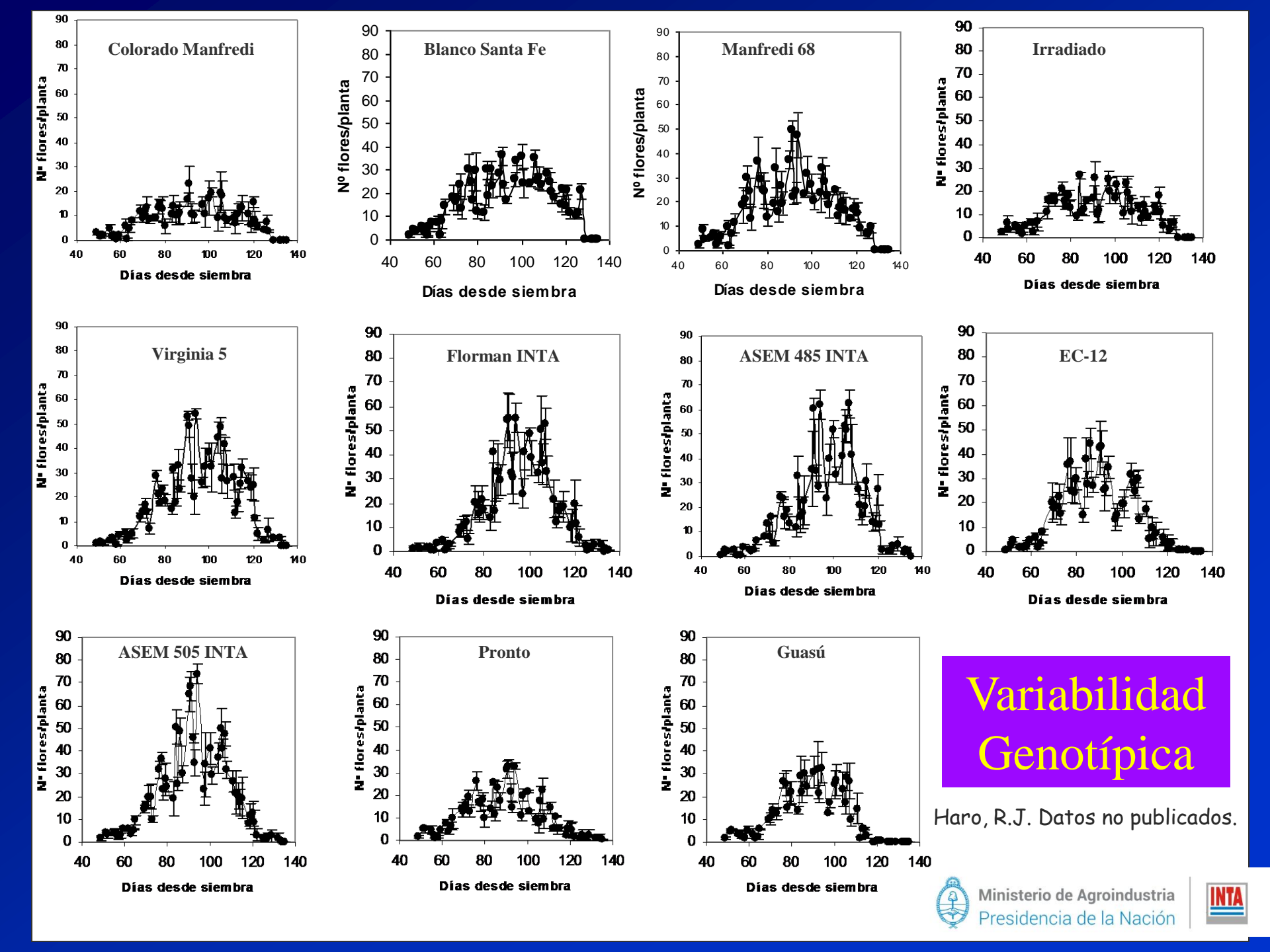


Floración

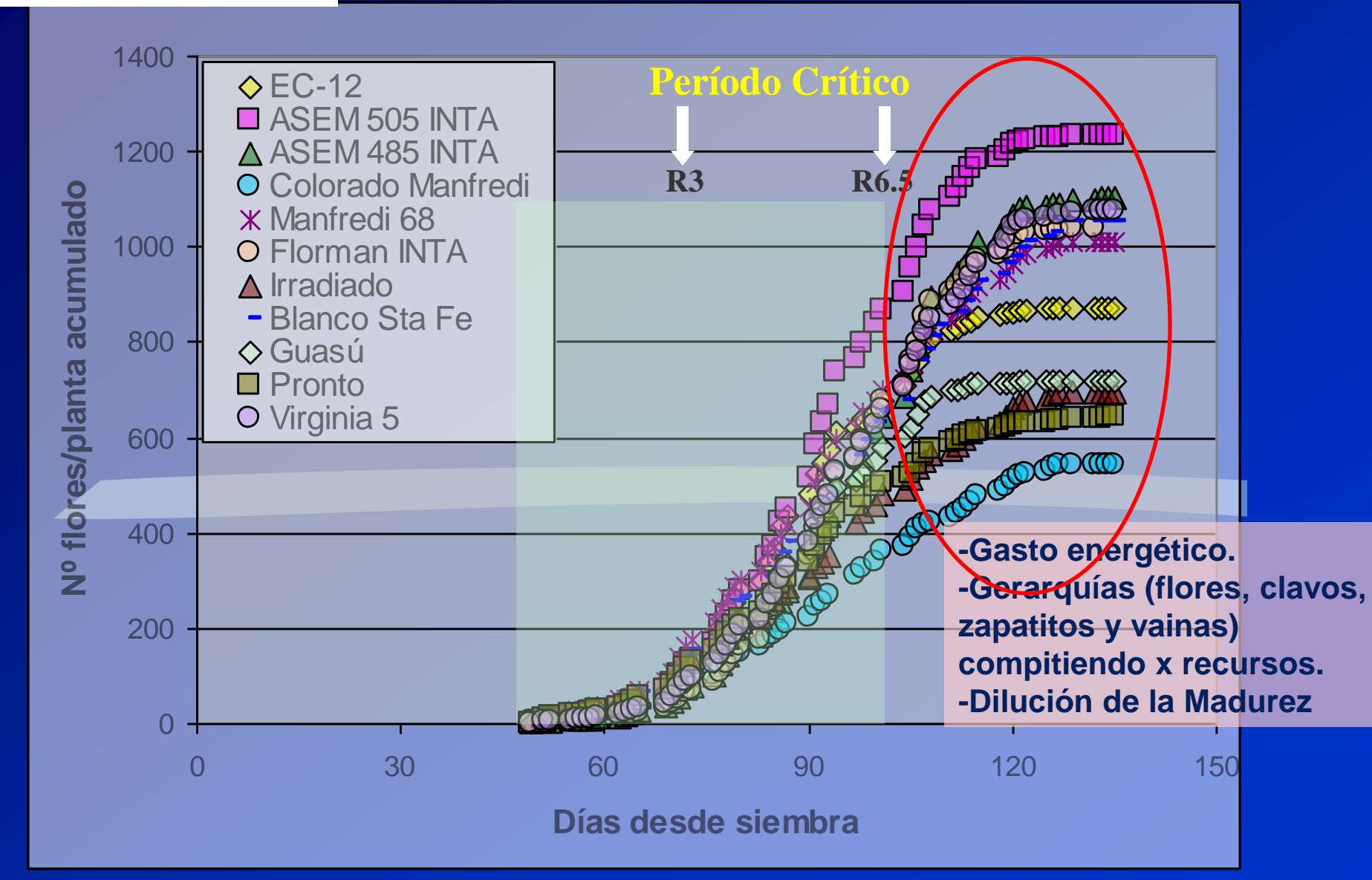


"Floración Indeterminada", generalmente bajo una distribución de campana de Gauss









Haro, R.J. Datos no publicados.



Algunas cuestiones que podrían alterar la "Dinámica de Floración"

- -Producción objetivo: qq/ha, maní confitería, semillas.
- -Ambiente: fecha de siembra, distanciamiento entre hileras de plantas, densidad de siembra.
- -Disponibilidad Hídrica: riego, secano (Déficit hídrico: momento, intensidad, duración).

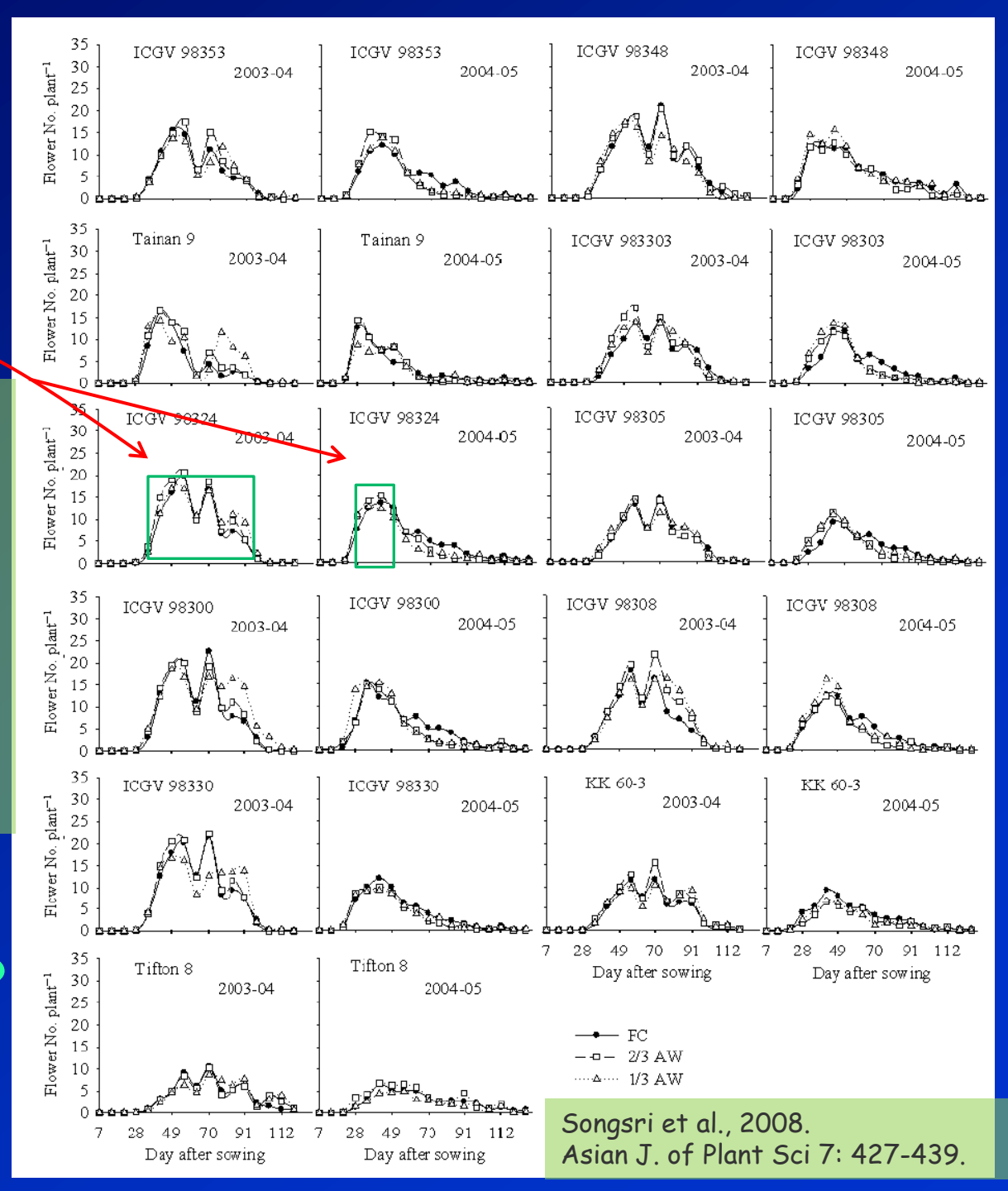


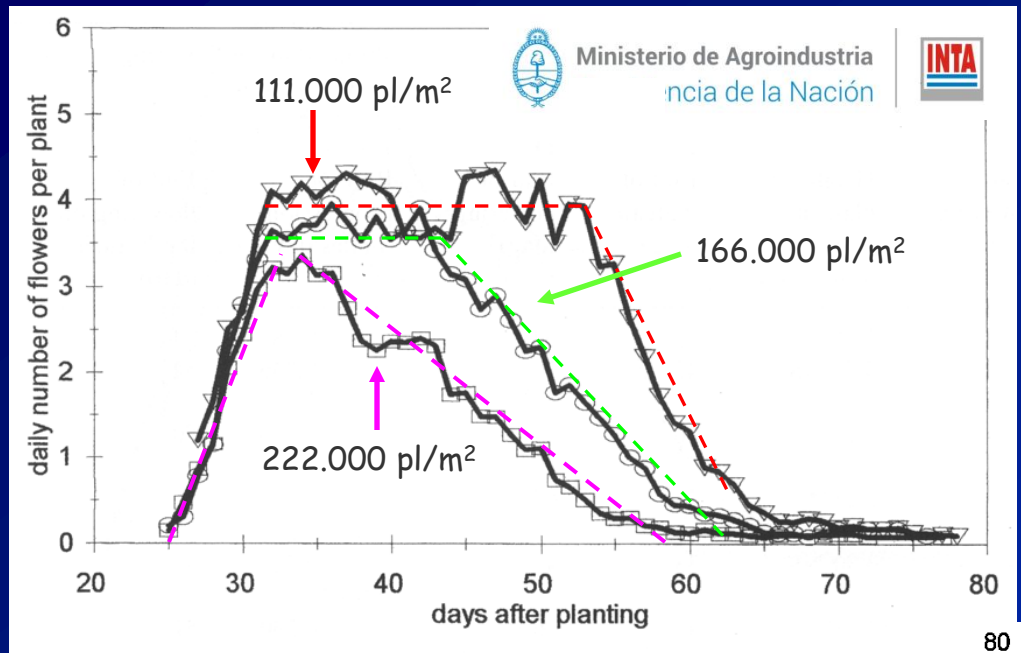


¿Cuál es el grado de protagonismo de cada Variable Ambiental para determinar tal o cual Dinámica de Floración?

¿H° relativa, Temps (máximas, mínimas), Radiación, o interacción de ellas?

¿Prácticas de Manejo?





- 60X15 - 60X10 - 60X7,5

Floración según la densidad de siembra

¿Cuál es la densidad de siembra adecuada para nuestra producción objetivo?

¿Será necesario y factible cambiar también el Marco de Plantación?

Cattan and Fleury, 1998.

European Journal of Agronomy 8: 13-27.

El número total de flores ha-1 es similar entre los tres marcos de siembra

Estrategias de manejo: ¿...? #) Según la fecha de siembra (ambiente fototermal. Sbra Oct. vs Sbra fines Nov.)

- #) Según la ocurrencia del déficit hídrico. ¿Escape a la sequía?
- #) Fracción maní confitería

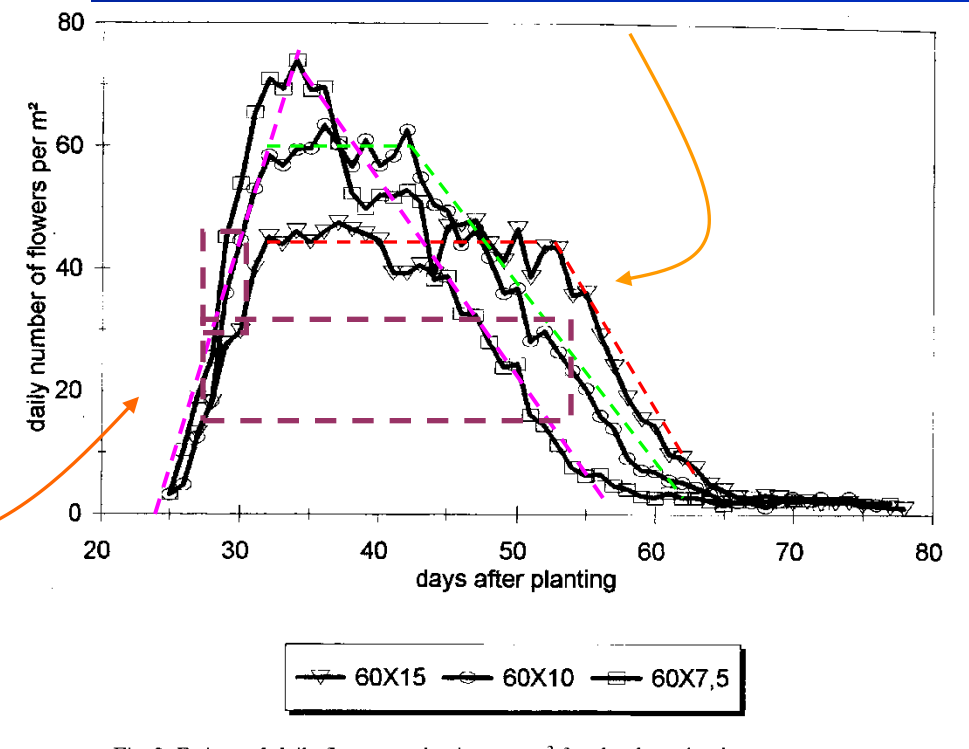
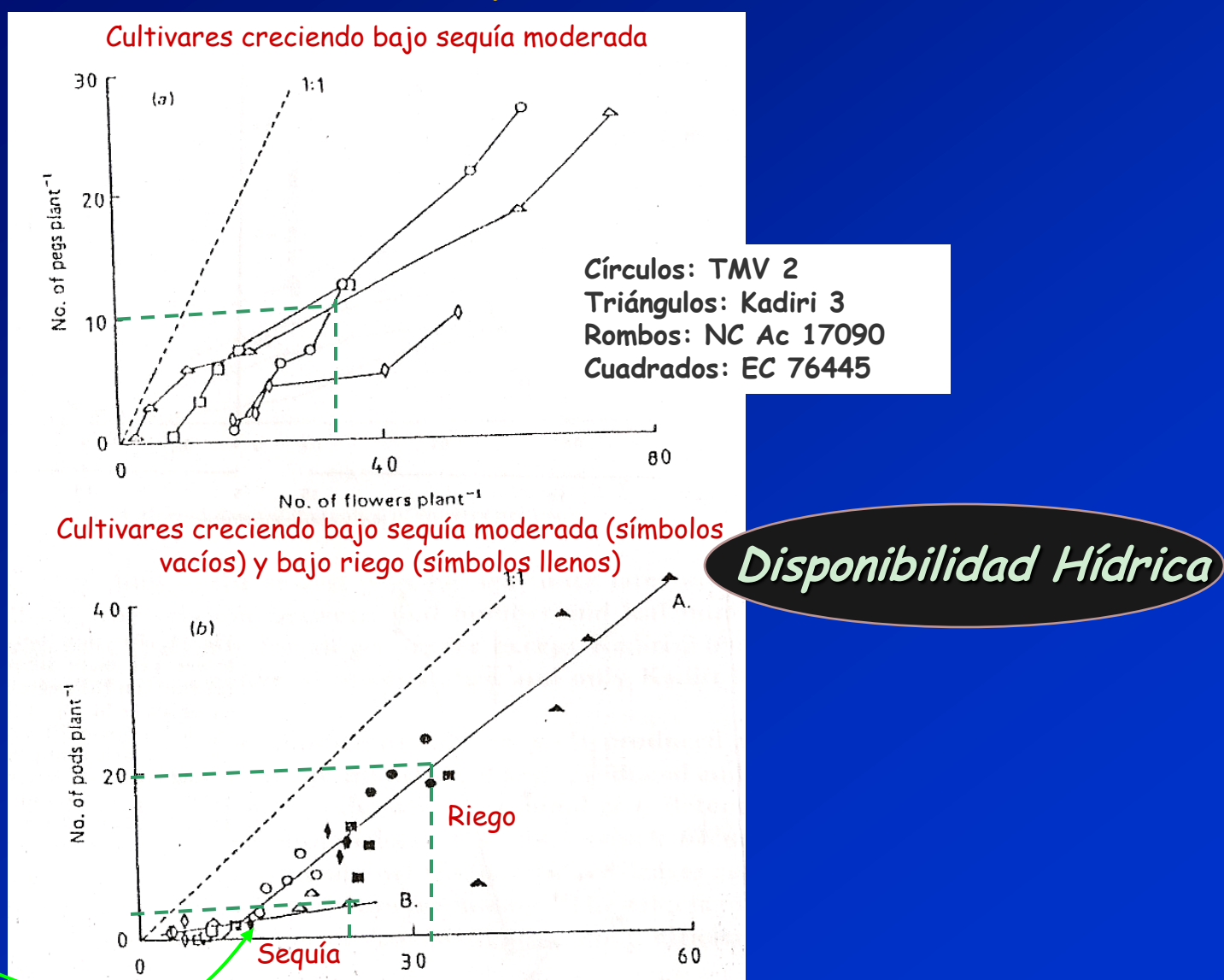


Fig. 3. Estimated daily flower production per m² for the three density treatments.





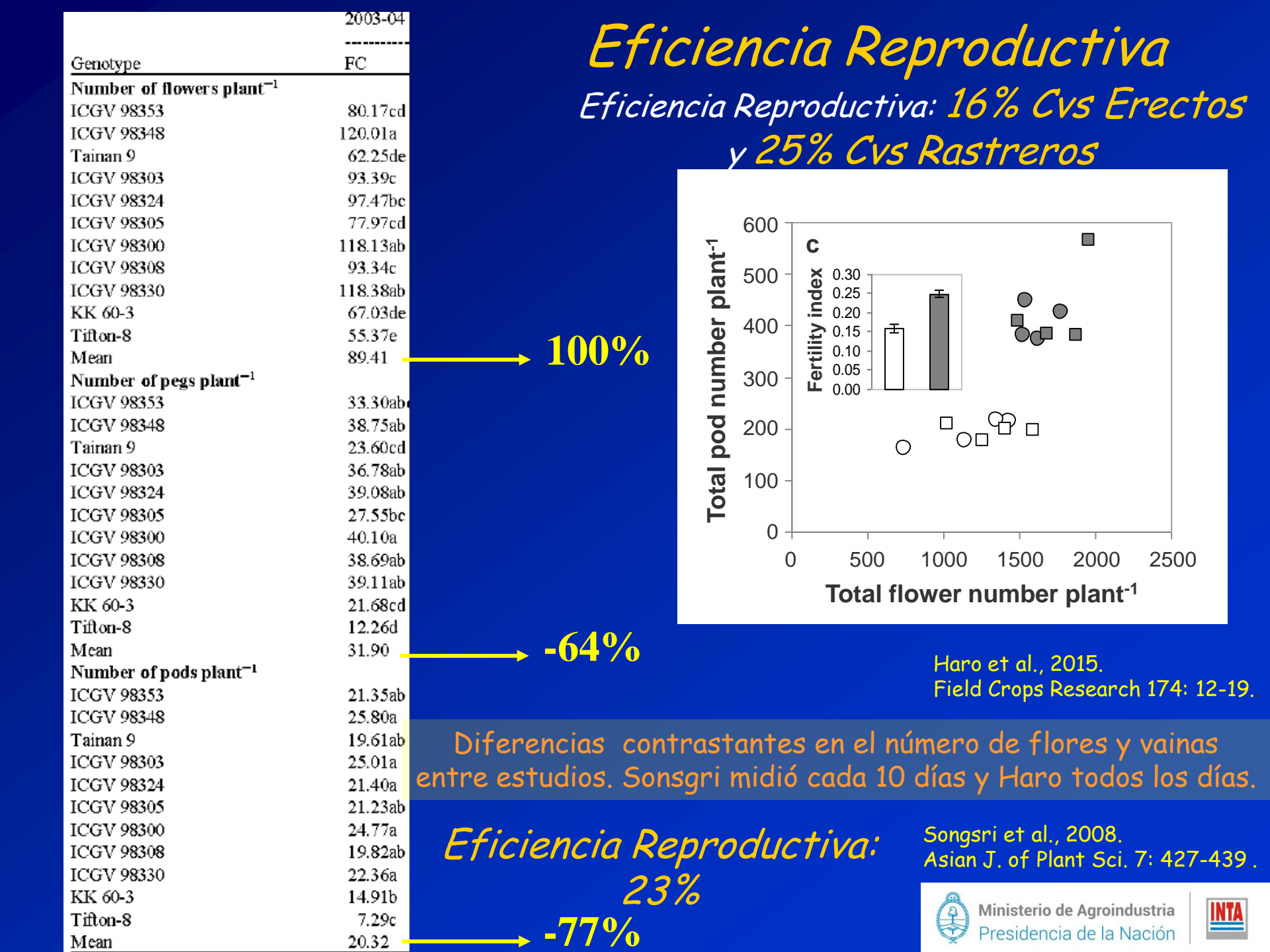
Eficiencia Reproductiva



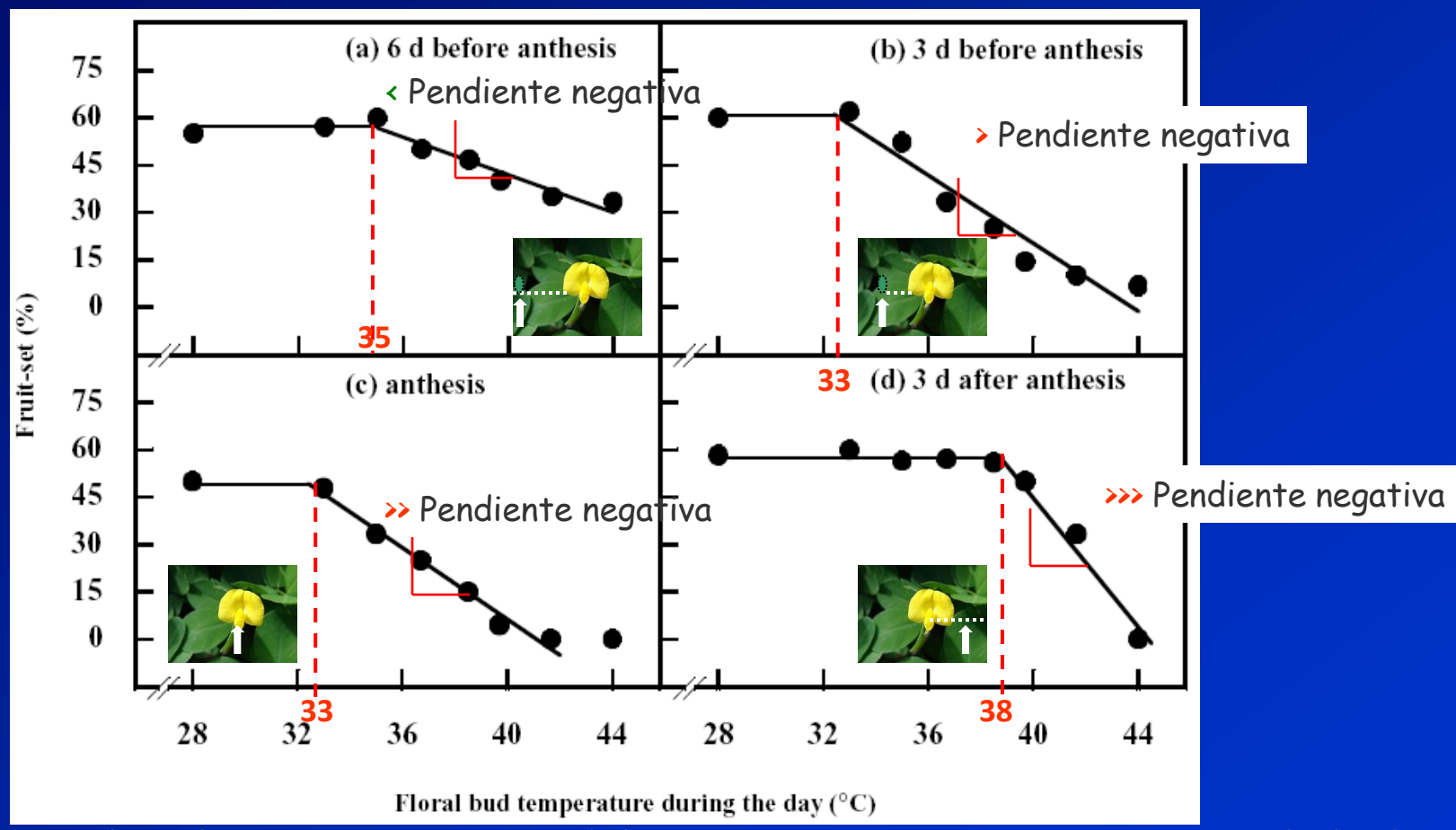
No. of pegs plant⁻¹

Mayor distanciamiento de la relación 1:1 por efectos de la seguía

> Harris et al., 1988. Experimental Agricultural 24: 215-225.



Efecto de la Temperatura del Aire sobre la Fijación de Vainas



A medida que las altas temperaturas del aire ocurren con mayor proximidad a la floración (período pre-antesis), los efectos negativos sobre la fijación del fruto (e.g., clavo en crecimiento) son mayores.





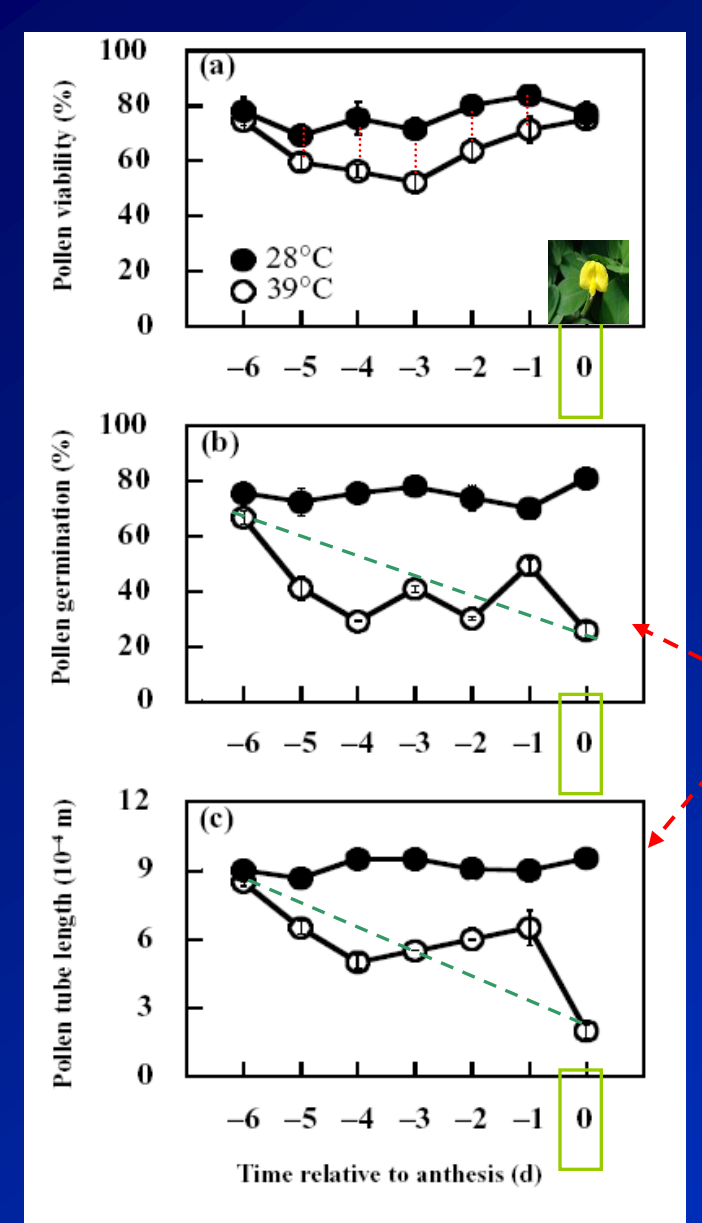


Fig. 3. Effect of optimum (28°C) and high (39°C) floral bud temperatures imposed for 1 d at different stages of flower bud development relative to anthesis on (a) pollen viability (%); (b) pollen germination (%); and (c) pollen tube growth (10^{-4} m) . Vertical bars denote standard error for the trait and are shown where they exceed the size of the symbol.





Las variables respuesta disminuyen progresivamente ante el aumento de la temperatura, a medida que el período pre-antesis es menor.

Varad Prasad et al., 2001. Australian Journal of Plant Physiology 28: 233-240.

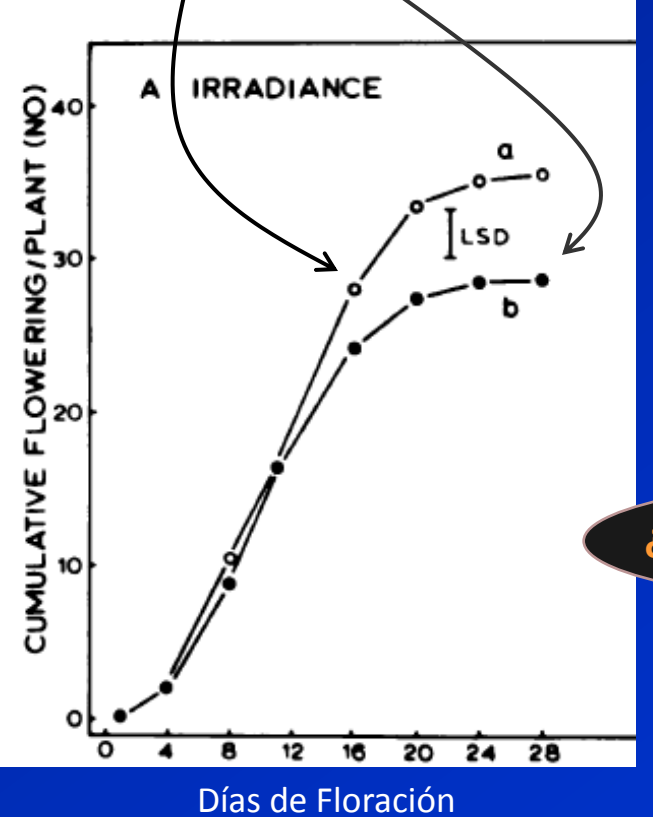




Efecto de la Irradiancia sobre la Producción de Flores

Irradi- ance	Total Pegs	Subterra- nean Pegs	Mature Pods	Immature Pods	Mature Seeds		Immature Seeds	
μE m ⁻² s ⁻¹	No.	No.	No.	No.	No.	g	No.	g
/500 +	18.2*	+16.8**	10.8*	2.8	+ 21.1**	7.08**	4.2	0.2
/ 300	14.3	13.5	7.8	2.2	15.2	4.97	3.4	0.2







¿Períodos prolongados de lluvias?

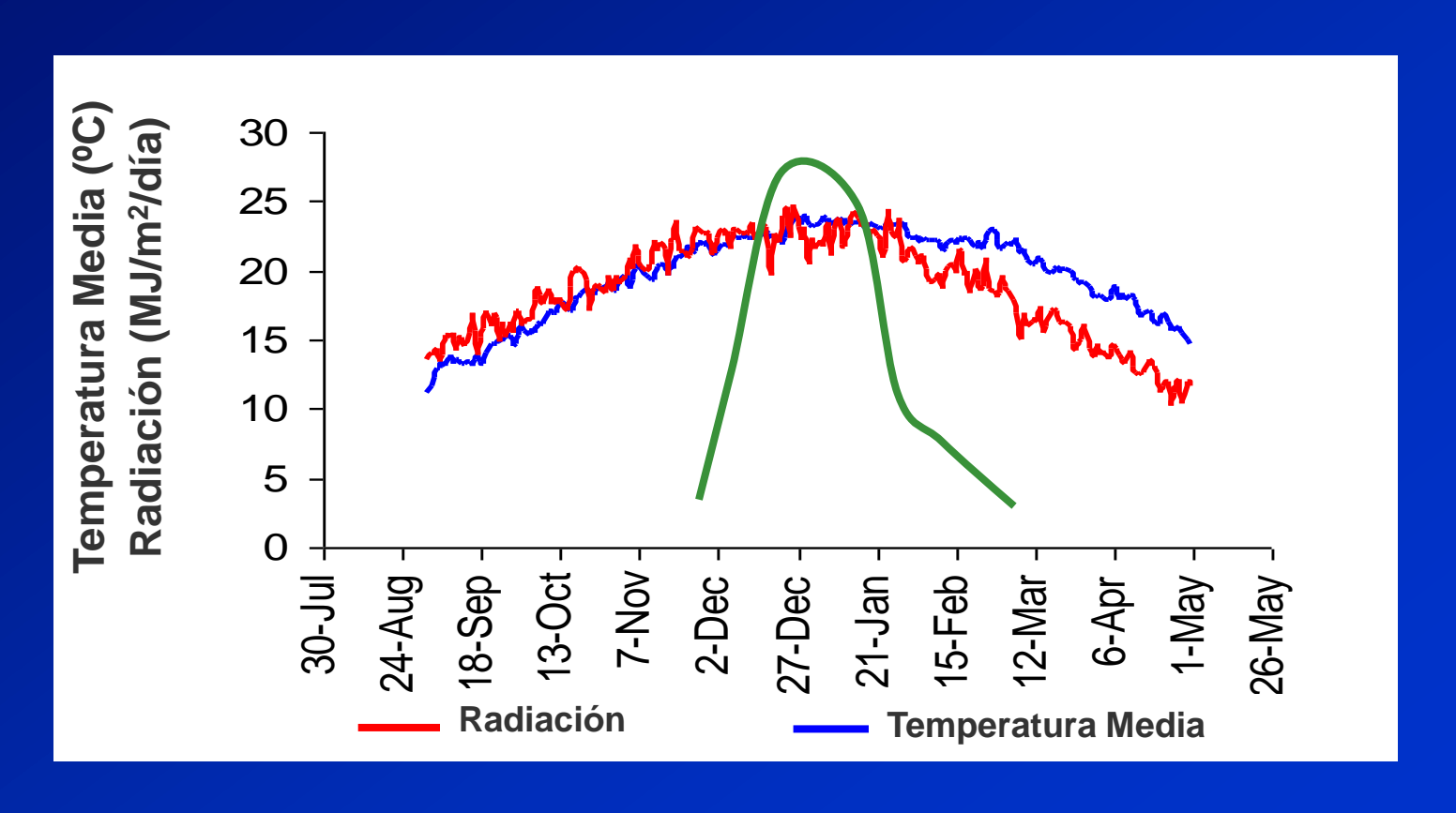
Ketring, 1979. Plant Physiol. 64: 665-667.



Consideraciones Finales

-¿Qué tipo de Dinámica de Floración buscamos?

-¿Dónde la ubicaríamos? ¿Prácticas de manejo: densidad de siembra, arreglo espacial? ¿Variabilidad Genotípica?

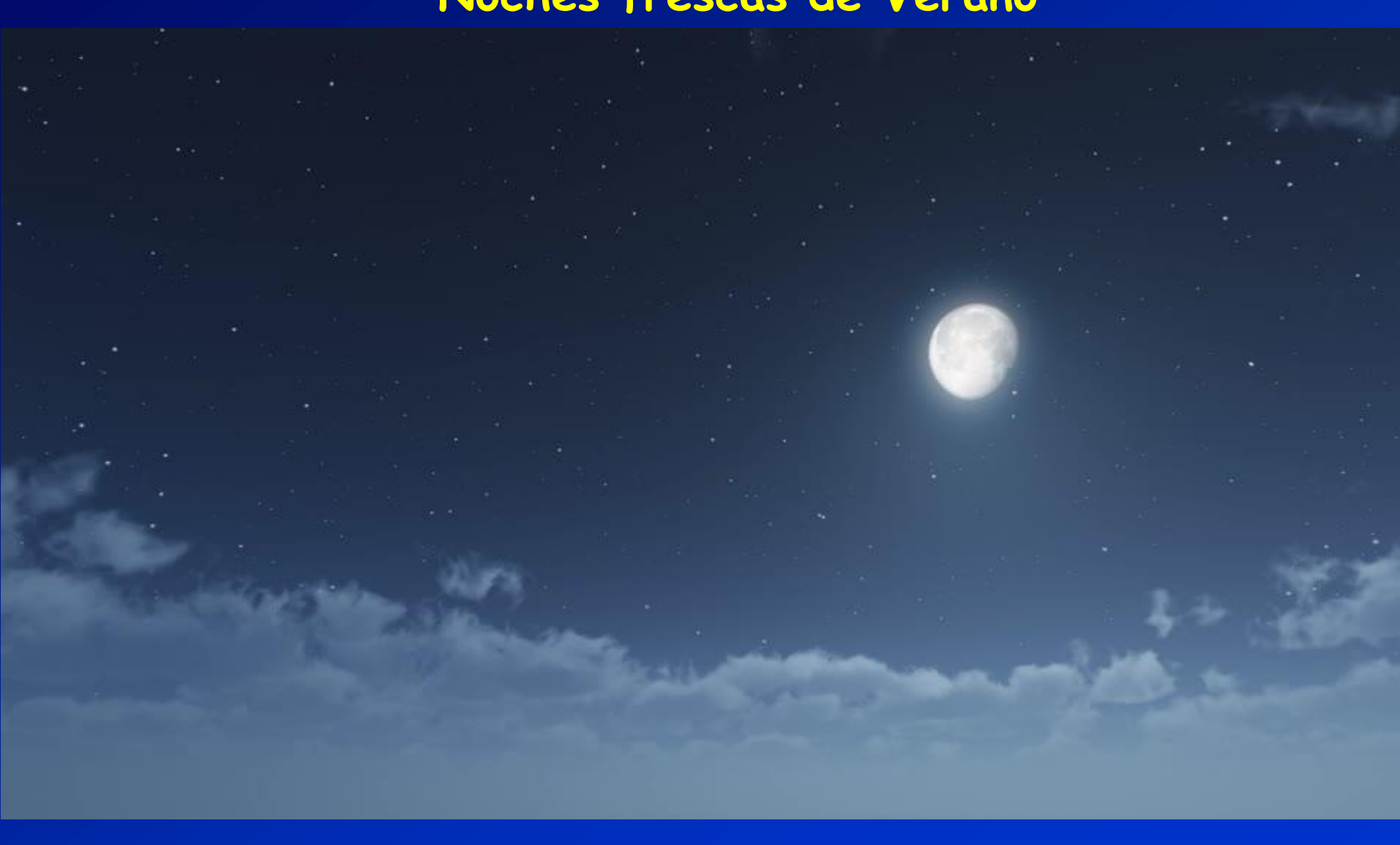






Efecto de las Temperaturas Nocturnas

Noches frescas de Verano



Temperatura mínima media

Bundaberg: 20.1°C Kingaroy: 16.1°C



Bell et al., 1992. Crop Science 32: 1329-1335.





Table 1. Commercial pod and kernel yield and quality data for three peanut cultivars grown at Bundaberg and Kingaroy, Australia, in 1989–1990. Values of LSD (P < 0.05) are shown only when the F-test in ANOVA was significant.

Location and cultivar	Pod yield	Kernel yield	Sound kernels	
Service Control of	kg	ha-1	%	
Bundaberg	The Applications	11 Page 11 Pag		
TMV2	3683	3025	90.8	
Early Bunch	5762	4106 >	Rdtos 94.3	
Virginia Bunch	4527	3543	92.8	
LSD (0.05)	741	631	1.6	
Kingaroy				
TMV2	2986	2175	93.5	
Early Bunch	5428	3554 < R	dtos 90.9	
Virginia Bunch	4581	3084	93.5	
LSD (0.05)	665	512	2.3	

Eficiencia en el Uso de la Radiación

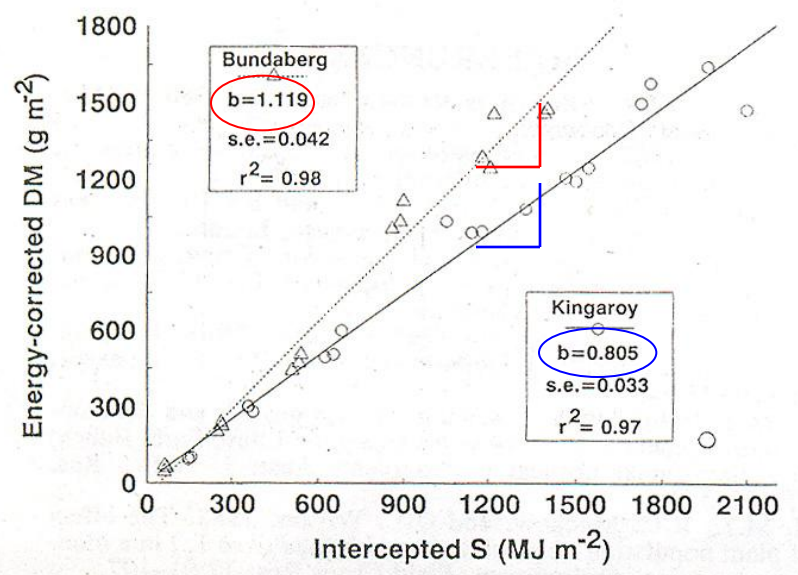


Fig. 3. Energy-corrected total dry matter as a function of cumulative intercepted shortwave solar radiation for peanut grown at Kingaroy and Bundaberg, Australia, in 1989-1990.

No significant differences in slope were detected among



Eficiencia en el Uso de la Radiación vs Bajas Temperaturas Nocturnas

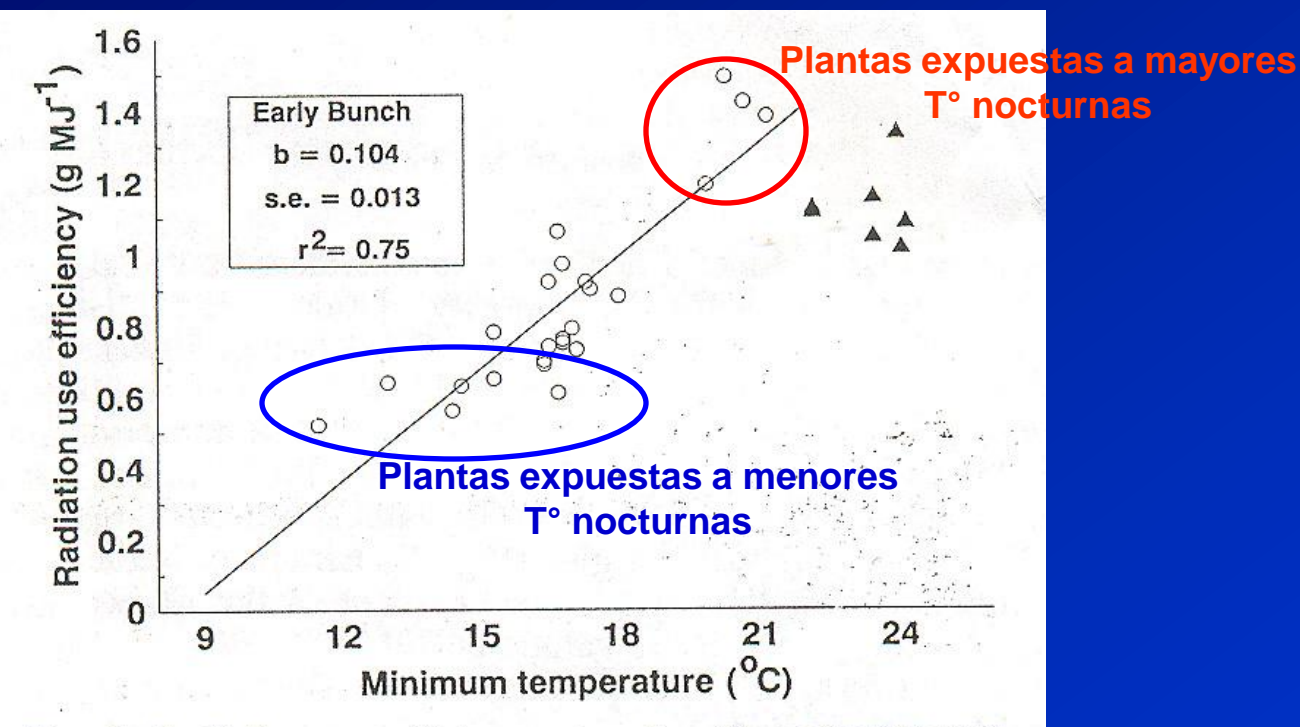


Fig. 5. Radiation-use efficiency as a function of minimum temperature for Early Bunch peanut from well-fertilized and irrigated sowings in both the semiarid tropics and the subtropics. The regression calculation was made using only those data sets in which the mean maximum temperature was <35 °C (open symbols), although other data from those studies are also shown (solid symbols).

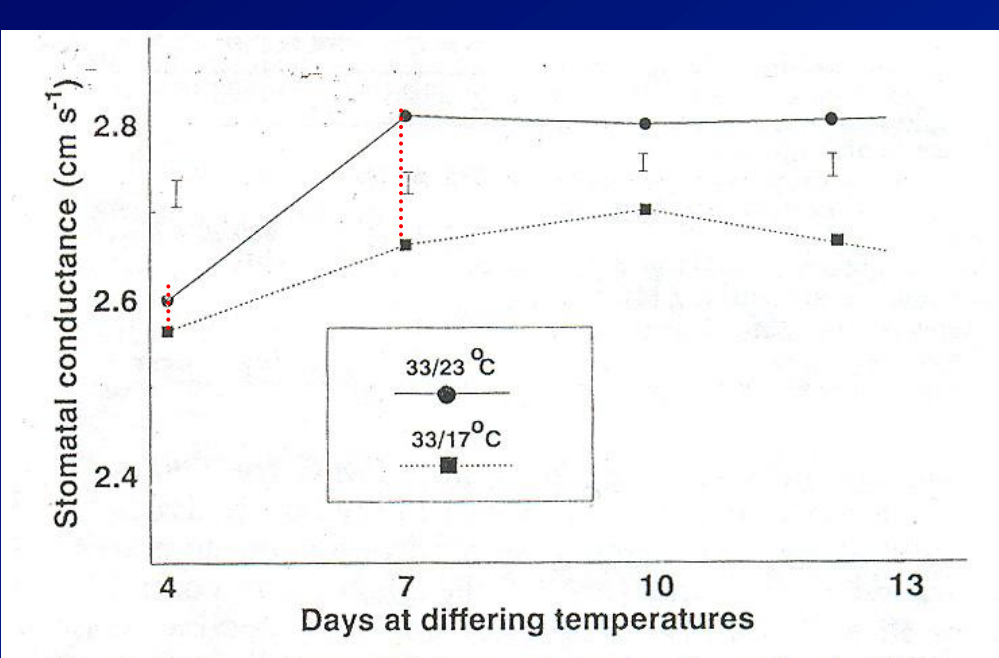


Fig. 4. Effects of two night temperature regimes (cool, 17 °C; warm, 23 °C) on stomatal conductance of Early Bunch peanut leaves at 1200 h on a series of days after imposition of different night temperatures. Vertical bars indicate standard errors of means.

Bajas T° nocturnas afectan la conductancia estomática del día siguiente

Bell et al., 1992. Crop Science 32: 1329-1335.

Bajas T° nocturnas afectan la Fotosíntesis del día siguiente

Cultivar	Night temperature	CER	SE	n
	°C	μ mol m -2 s -1		
OAC Ruby	20	31.1	2.6	7
	10	26.4	3.2	7
OAC Garroy	20	31.4	2.9	7
	10	27.3	3.1	9
Early Bunch	20	30.6	2.5	8
	10	20.7	3.4	8
Chico	20	32.9	1.0	7
	10	20.8	1.8	7

Existen respuestas diferenciales entre Cvs

(VARIABILIDAD GENOTÍPICA)

Adaptado de Bell et al., 1994. Crop Science 34: 1014-1023.





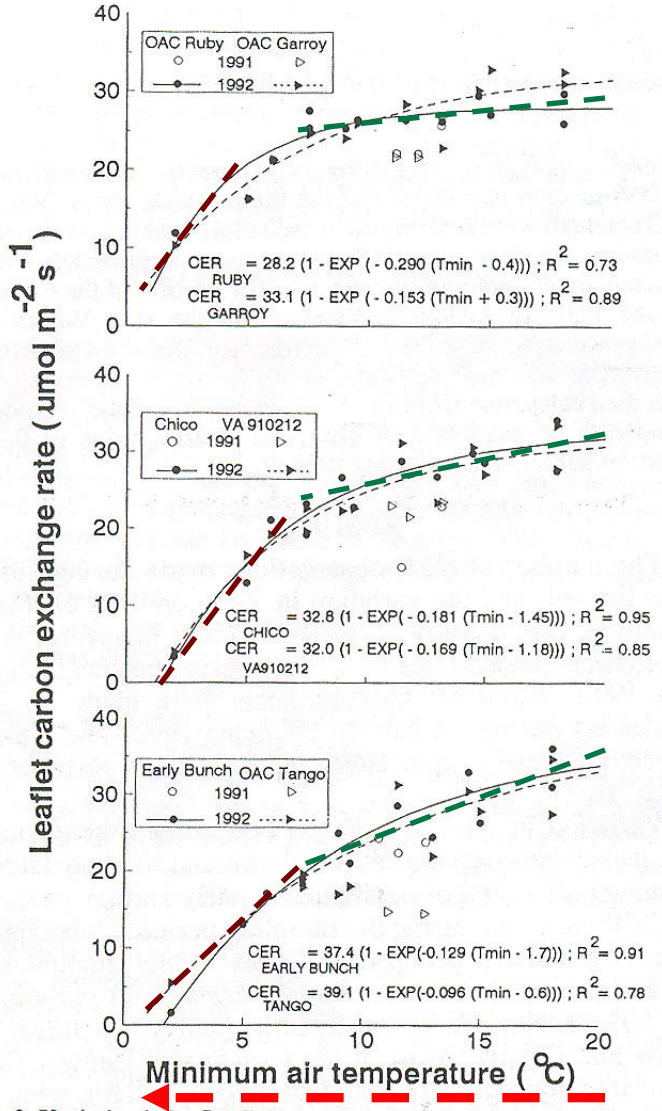


Fig. 2. Variation in leaflet CER as a function of minimum temperature for six peanut genotypes at Delhi in 1992 and 1991. Fitted curves were derived from 1992 data only, with mean CER for each sample date weighted by the inverse of the standard error at that date. Equations and adjusted R² values for weighted regressions are shown for OAC Ruby and OAC Garroy; Chico and VA910212; and Early Bunch and OAC Tango.

Distintas Sensibilidades en la respuesta (Variabilidad Genotípica)

Bell et al., 1994. Crop Science 34: 1023-1029.



En Nuestros Ambientes Maniseros:

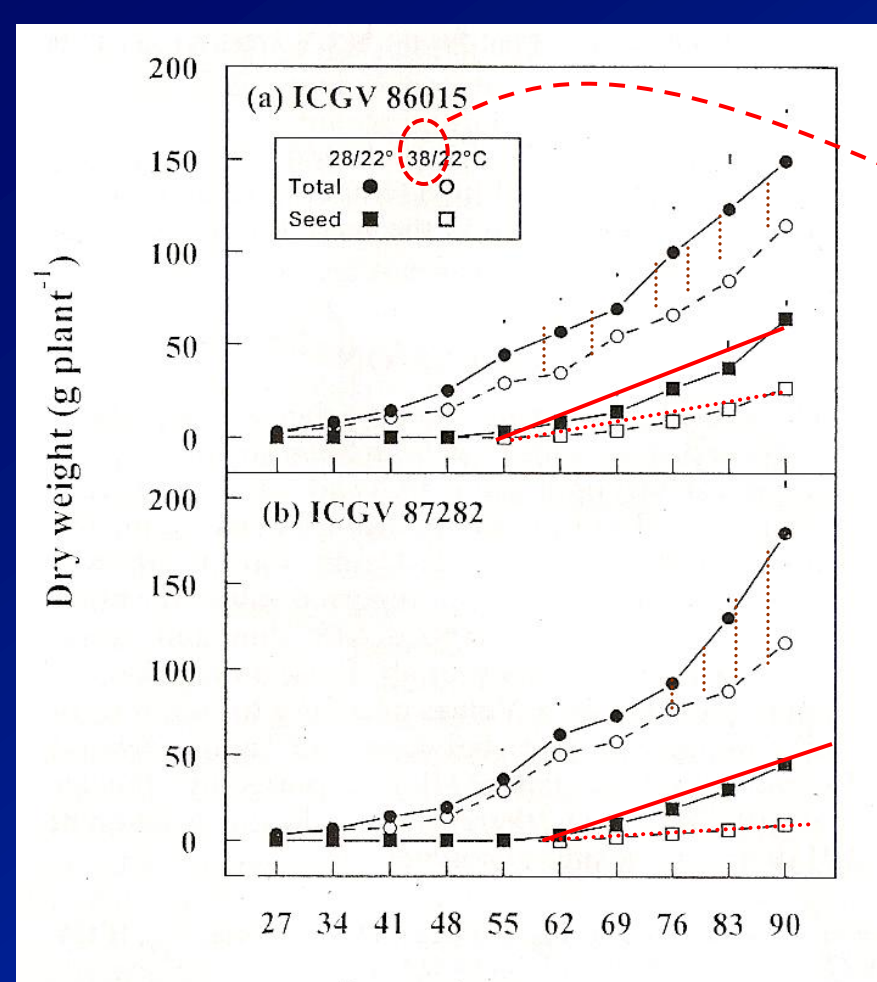
¿Cuál es el umbral de nuestros Cvs a las bajas Temperaturas nocturnas? ¿17, 19, 20°C?

¿Disponemos de Cvs con Tolerancia a las Bajas Temperaturas (Nocturnas), considerando el umbral de Bell (17°C)?

¿Cuál es la frecuencia de Bajas Temperaturas nocturnas?



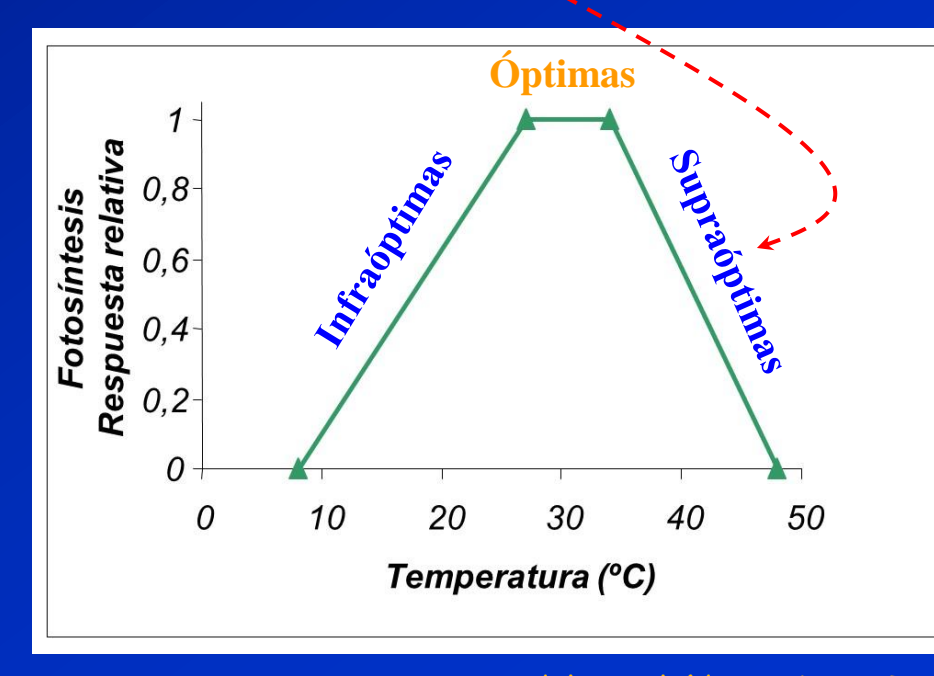




Days after planting

Fig. 1. Total and seed dry matter accumulation with time for peanut genotypes ICGV 86015 (a) and ICGV 87282 (b) grown at 28/22°C (solid symbols) and 38/22°C (open symbols) from 21 to 90 DAP. Bars are SE for comparing high and low temperature means where they exceed the size of the symbol.





Fuente: Modelos incluídos en DSSAT 3.5

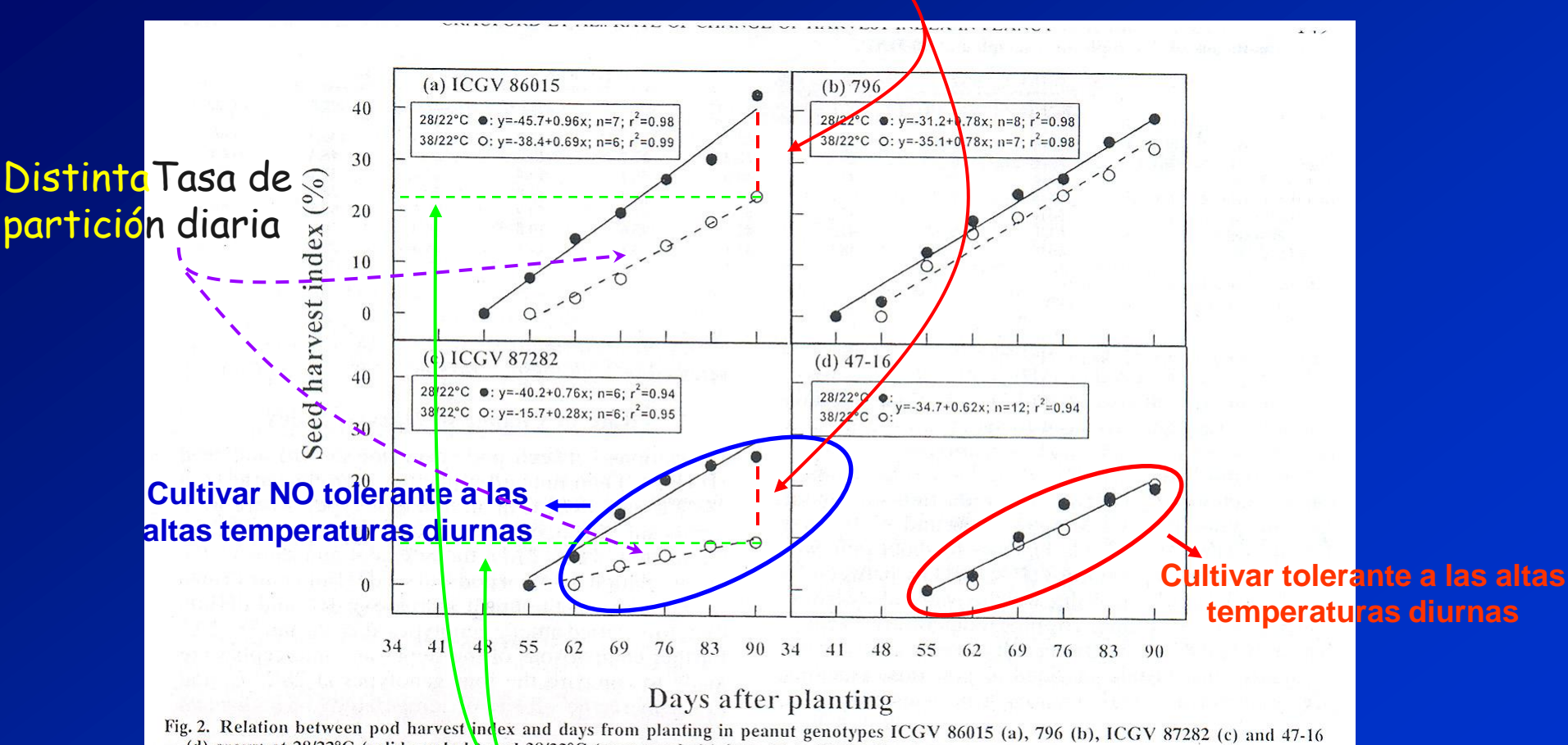
Craufurd et al., 2002. Crop Science 42: 146-151.



Altas T° diurnas vs Partición

(Temperaturas Supra-óptimas para la fotosíntesis)

Las Altas Temperaturas disminuyen el IC



(d) grown at 28/22°C (solid symbols) and 38/22°C (open symbols) from 21 to 90 DAP.

Craufurd et al., 2002. Crop Science 42: 146-151. Existe distinta sensibilidad entre cultivares a las Altas Temperaturas que es reflejada en el IC

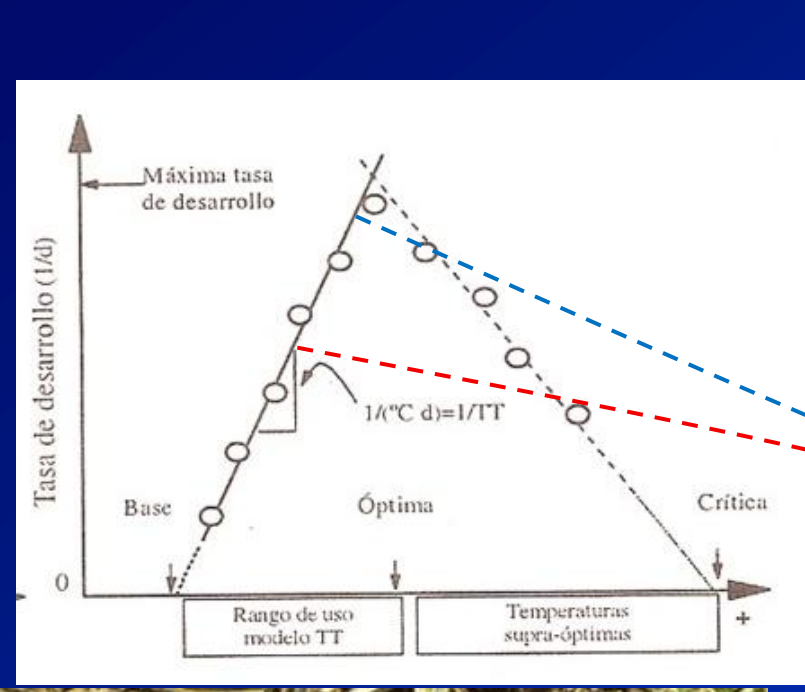


Las Altas temperaturas disminuyen la Producción de Biomasa, la Partición hacia estructuras reproductivas y el Rendimiento











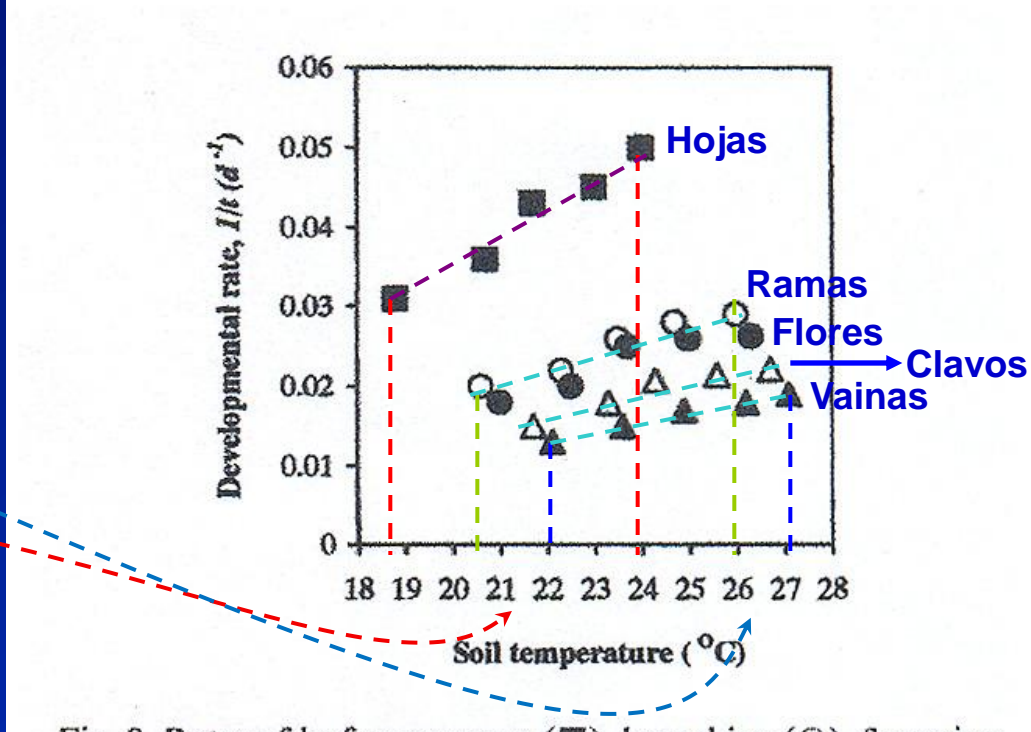


Fig. 8. Rates of leaf appearance (\blacksquare), branching (\bigcirc), flowering (\bullet), pegging (\triangle), and podding (\triangle) as functions of soil temperature. Regression equations with constants and coefficients for the development of each phenophase are shown in Table 2.

∠SD (< T°) vs LR (>T°)?

₹ Rastrojo: Maíz (< T°) vs Soja (>T°)?



Table 1
Developmental progress and sink size of peanut plants as affected by soil temperature

Soil temperatures (°C)		ime from treatmen	Sink size ^a (mg)		
		lowering	Podding	Maturity	
12		34.0 (±1.9) a	57.7 (±2.0) a	135.8 (±2.3) a	767.3 (±86.2) c
18	Acortamiento		52.5 (±2.1) b	$129.8 (\pm 3.1) b$	1222.3 (±56.8) a
25	en días	27.5 (±0.8) c	47.2 (±1.5) c	119.3 (±2.5) c	1187.0 (±73.4) a
32	en ulas	22.8 (±1.6) d	40.7 (±2.0) d	110.5 (±2.3) d	1024.1 (±90.3) b
40		19.5 (±1.1) e	35.2 (±1.5) e	$109.3 (\pm 2.1) d$	686.7 (±75.7) c
$LSD_{0.01}$		2.5	2.9	4.0	124.5

Means followed by the same letter within a column are not significantly different at P < 0.01. \pm , Represents the standard error of treatment means (n = 6).

Temps en el rango Óptimo

Awal and Ikeda, 2003. Environmental and Experimental Botany 50: 41-50.

a Indicates individual pod dry weight.



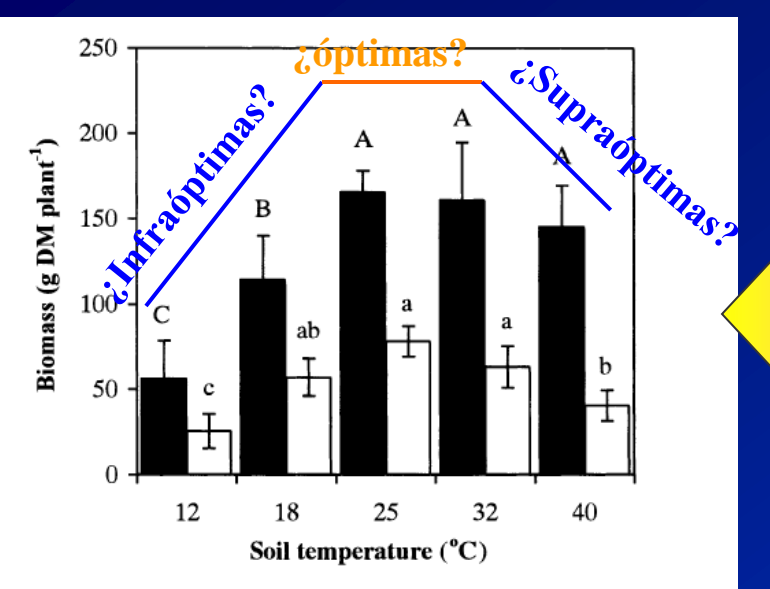
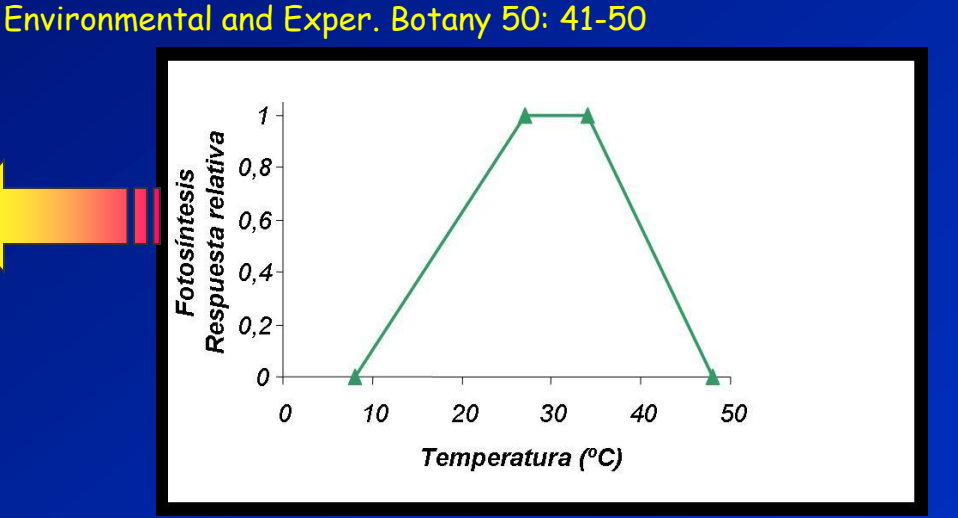
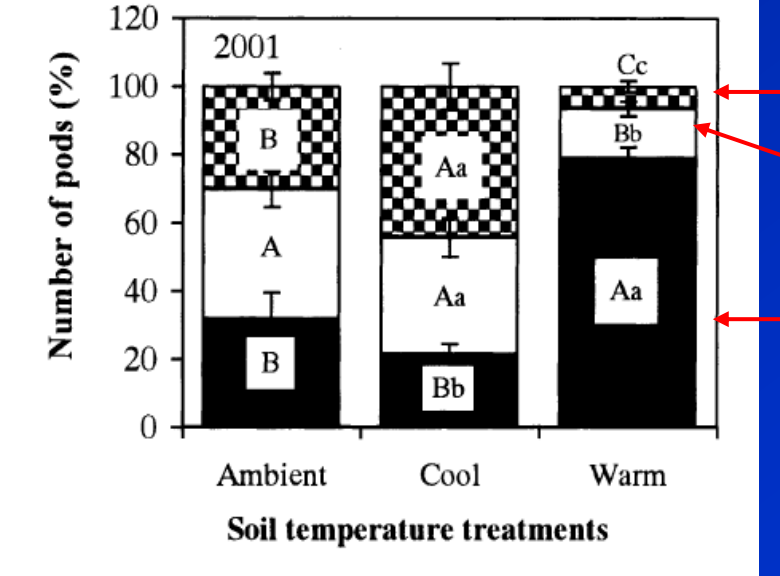


Fig. 1. Accumulation of total (■) and pod biomass (□) in peanut plants during maturity as a function of soil temperature. Vertical bars represent the S.E. (\pm) of treatment means (n = 6). Dissimilar letters indicate significant differences among treatments (P < 0.01).



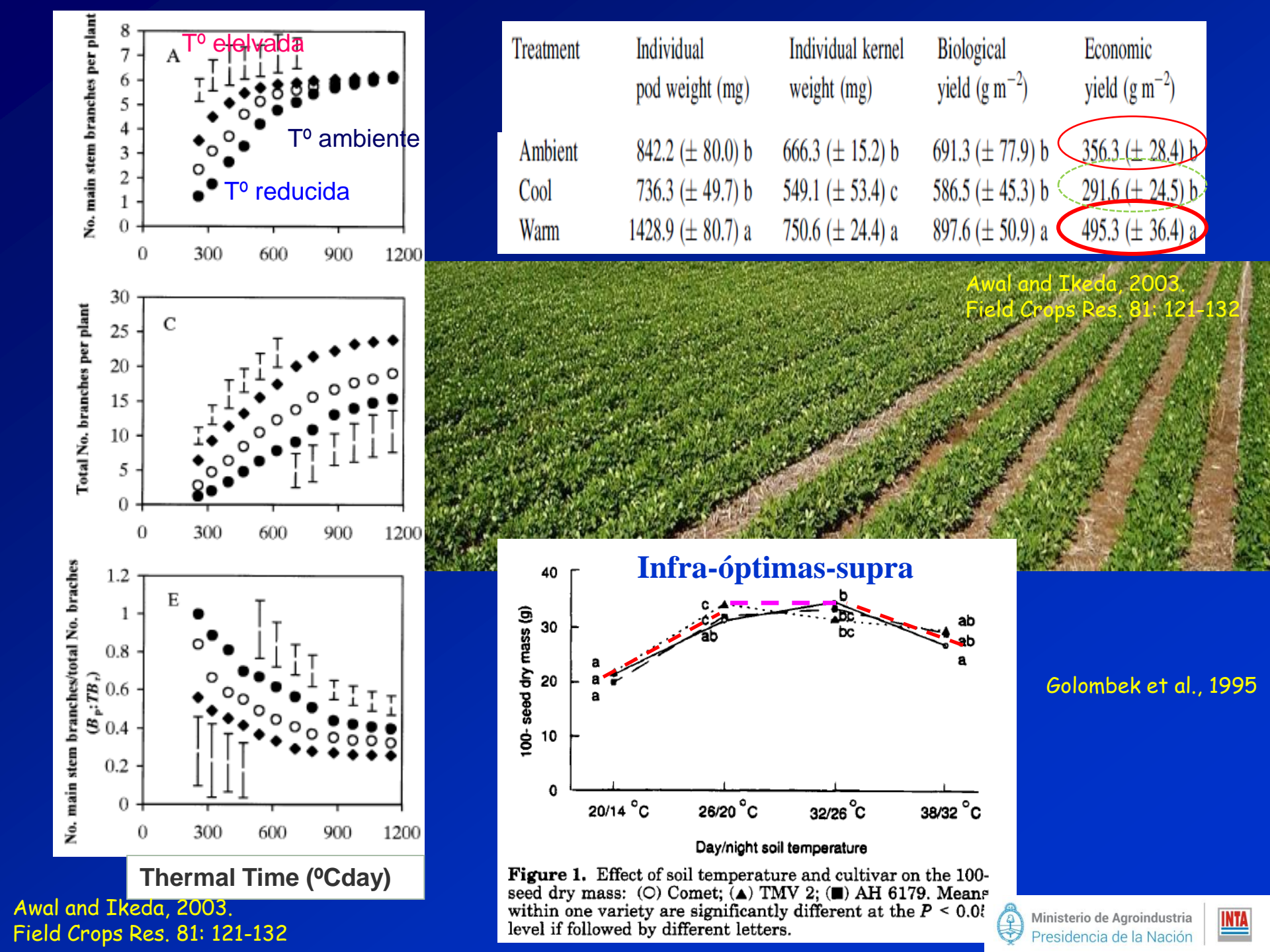


Awal and Ikeda, 2003.

Vainas Juveniles Vainas Inmaduras

Vainas Maduras

Awal and Ikeda, 2003. Field Crops Res. 81: 121-132





Eficiencia en el Uso de la Radiación

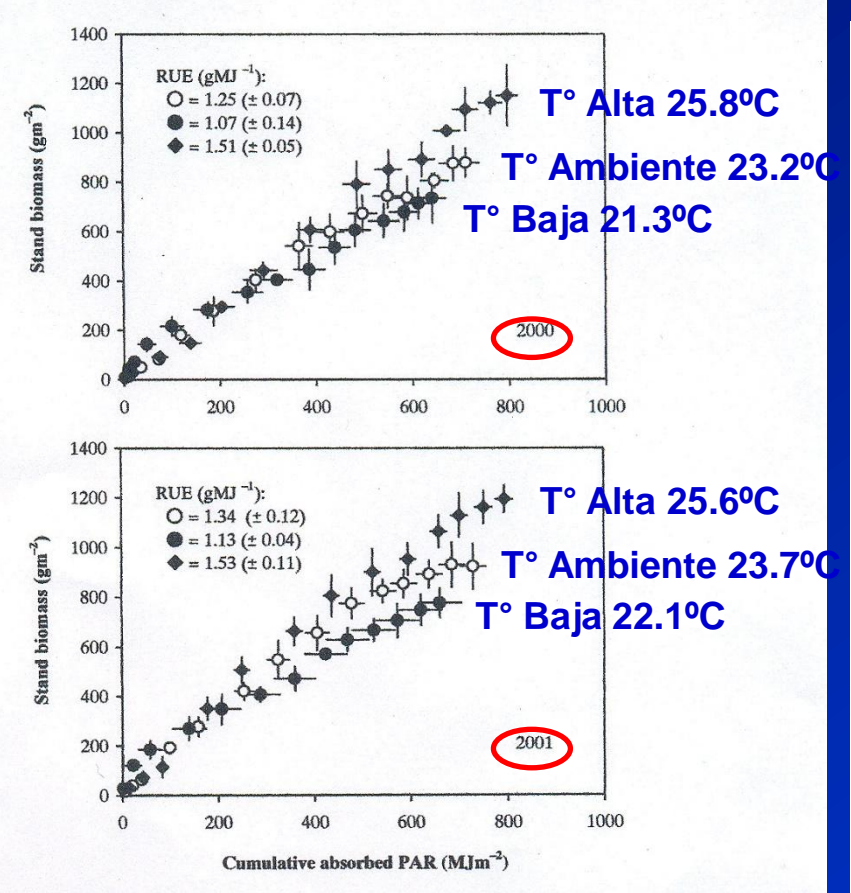


Fig. 10. Relationship between stand biomass and cumulative PAR absorbed by the peanut stands subjected to ambient (\bigcirc) , reduced (\blacksquare) , and elevated (\clubsuit) soil temperature treatments. Bars represent the standard error of means (n = 4). Lines are omitted for clarity. The slope of each line represents the mean RUE (shown in the legends).

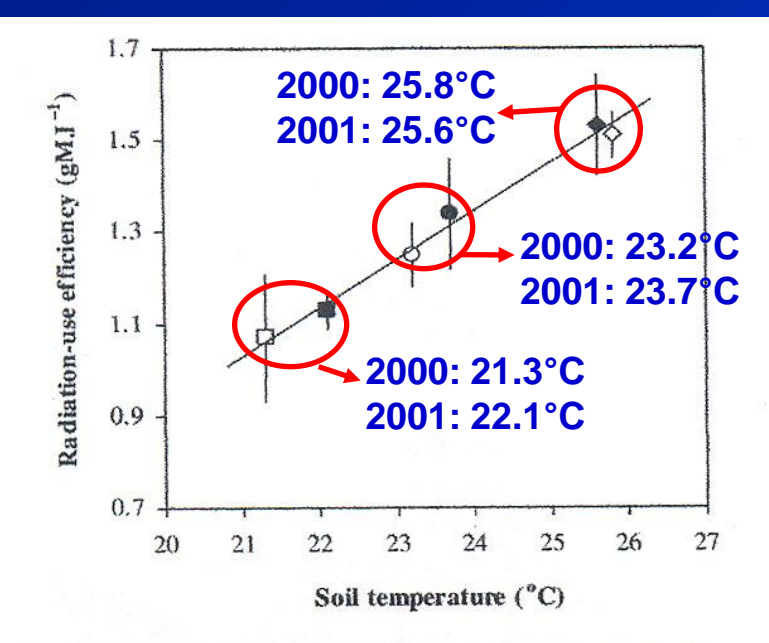


Fig. 11. Radiation-use efficiency (RUE) as a function of soil temperature. RUE calculated on the basis of absorbed PAR including data for 2000 (open symbols) and 2001 (closed symbols) were regressed together. (\bigcirc, \bullet) Ambient treatment; (\square, \blacksquare) reduced treatment; (\bigcirc, \bullet) elevated treatment. Bars represent the standard error of means (n = 4). The best-fit linear model was: RUE $(gMJ^{-1}PAR) = -1.16(\pm 0.49) + 0.11(\pm 0.02)T$ $(r^2 = 0.99; P < 0.001)$.



Incrementos de la temperatura del suelo aumentan la Tasa de Desarrollo.

Aumentos de la temperatura del suelo (hasta rango óptimo inclusive) incrementan la producción de biomasa, eficiencia en el uso de la radiación, rendimiento, fracción de vainas maduras y peso del grano.



Rendimiento: Biomasa x Índice de Cosecha



Temperatura Fotoperíodo



- -Latitud -Época del año -Genotipo (largo de ciclo)

- -Espaciamiento
- -Uniformidad
- -Estructura de planta (nº hojas, ángulo foliar, tamaño de hojas, altura de planta)



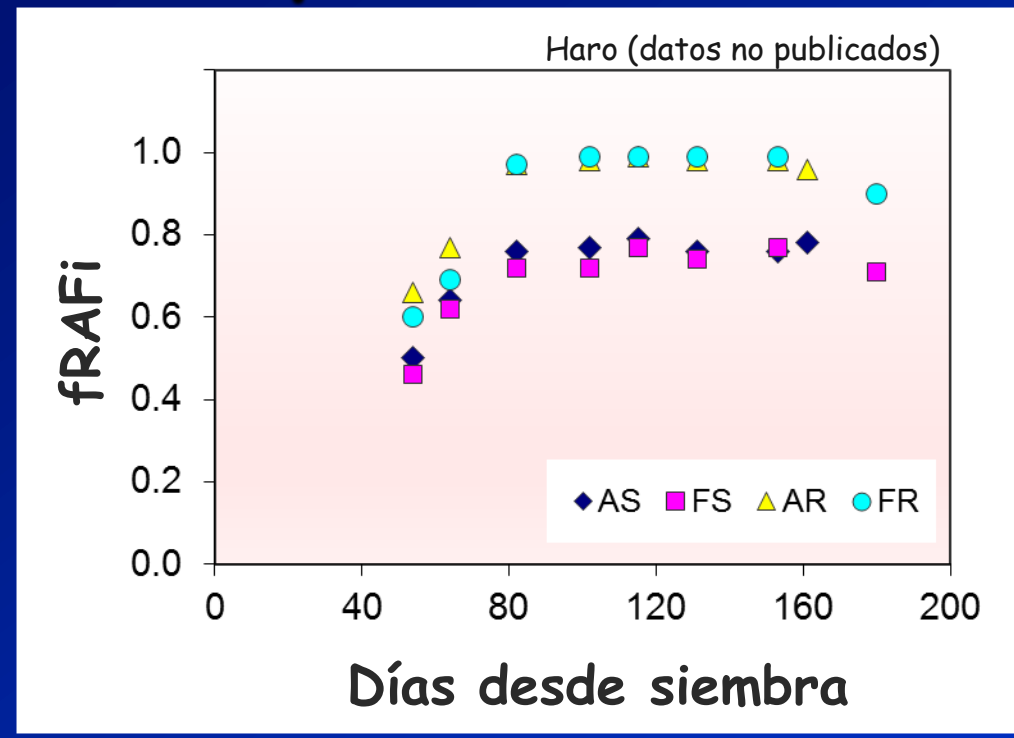
Biomasa: Radiación incidente x e, x EUR

Radiación interceptada





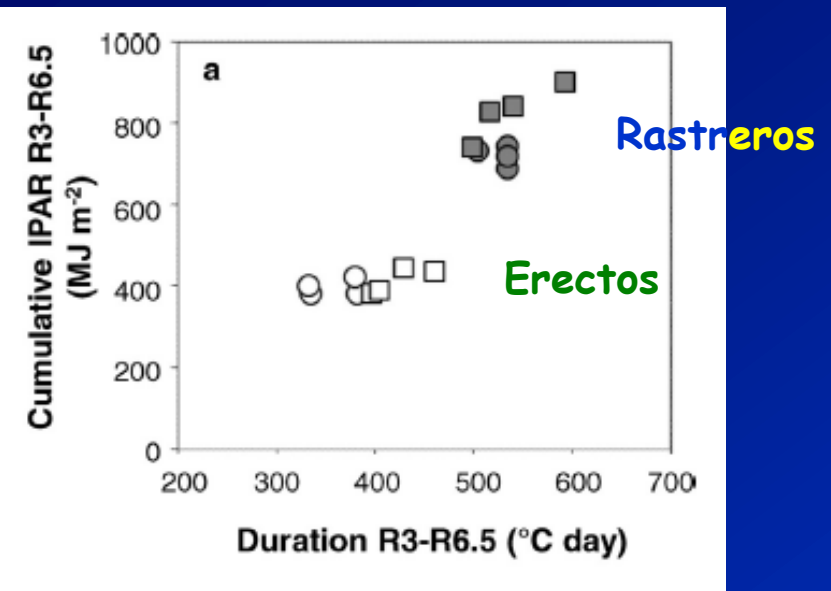
Intercepción de la Radiación

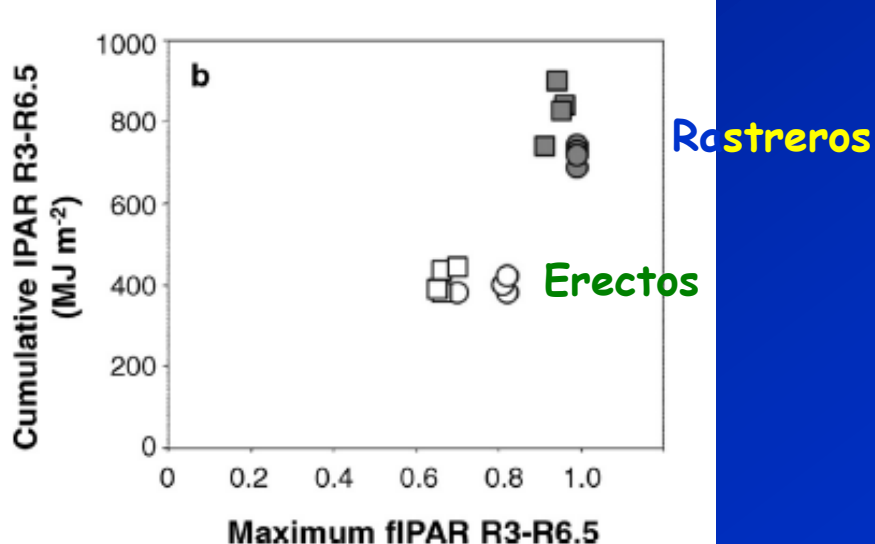






Según Hábito de Crecimiento













Según Temperatura del Suelo

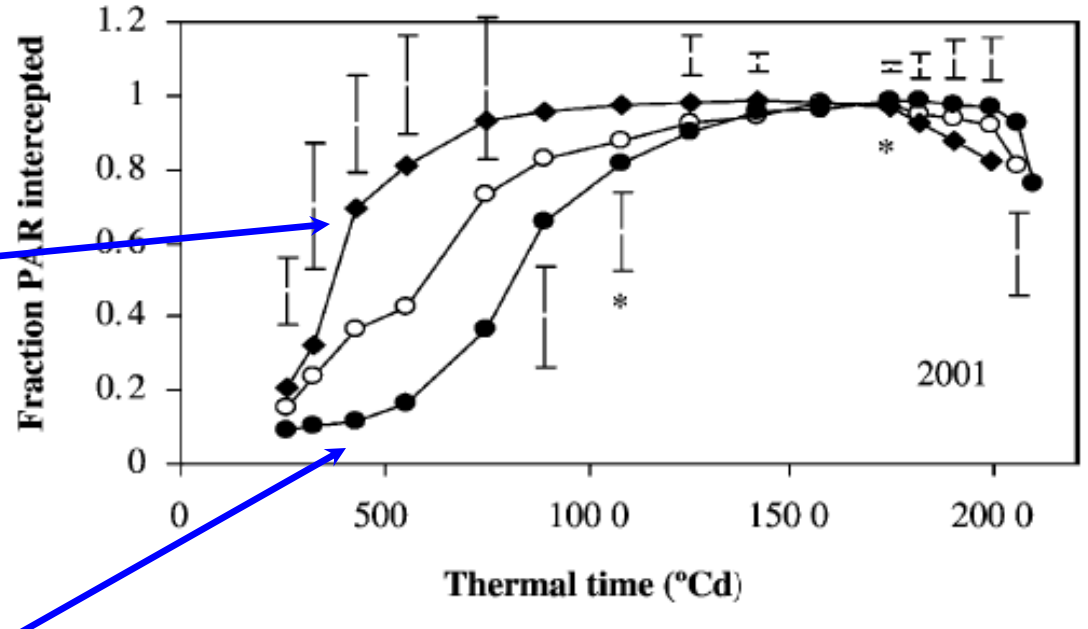




-Textura del suelo







Suelo Arcilloso (suelos templados)

Awal and Ikeda, 2003. Agric, and Forest Meteror, 118: 63-74.



Eficiencia en el Uso de la Radiación

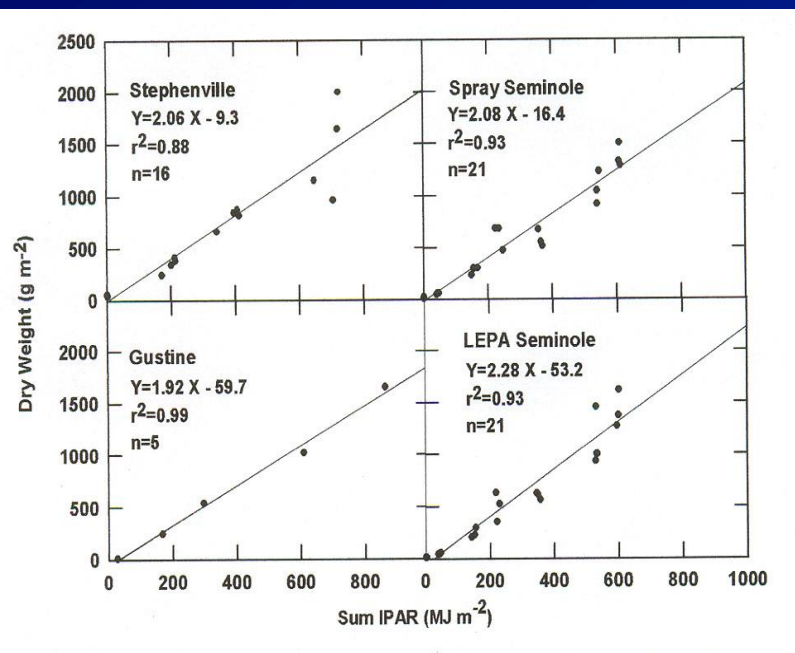


Fig. 1. For peanut cultivar TR96, dry weight as a function of summed intercepted PAR at three sites in Texas. The slope is the radiation use efficiency (RUE).

Kiniry et al., 2005. Field Crops Research 91: 297-306.

EUR (g MJ⁻¹): IPARi acumul (MJ m⁻²)

La EUR generalmente es estable, pero pueden darse variaciones (e.g. estadíos vegetativos > EUR > estadíos reproductivos; disponibilidad hídrica).

Idinoba et al., 2002. Agronomie 22: 273-282.

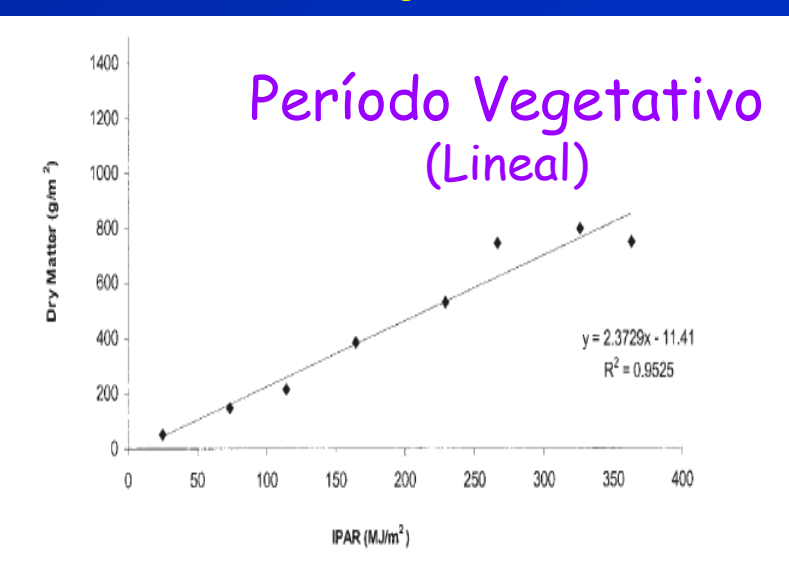


Figure 5. Relationships between dry matter production and accumulated intercepted PAR in groundnut during the first growing season.





Corrección por "Costo Energético" tiende a Linealizar la EUR

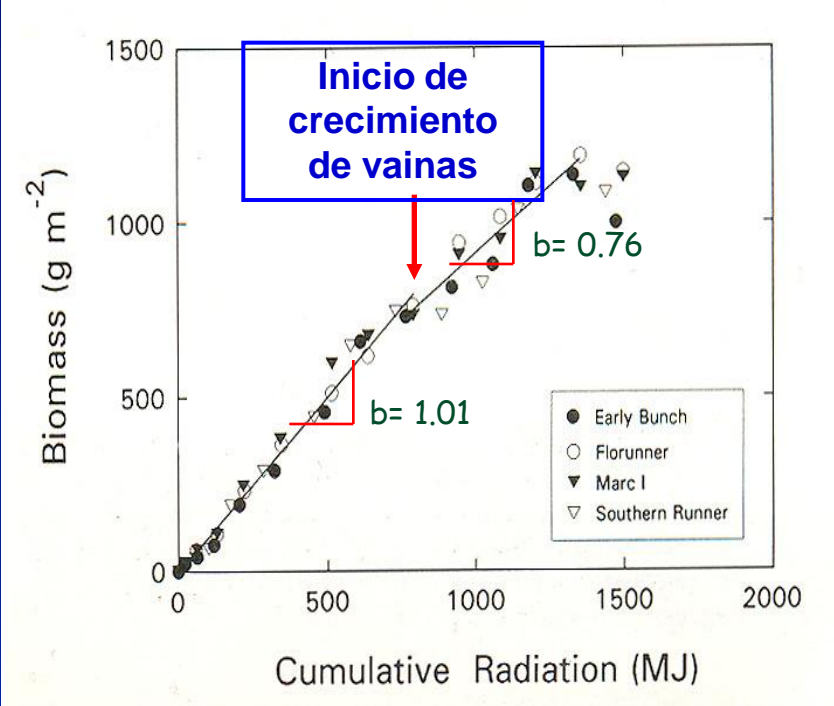
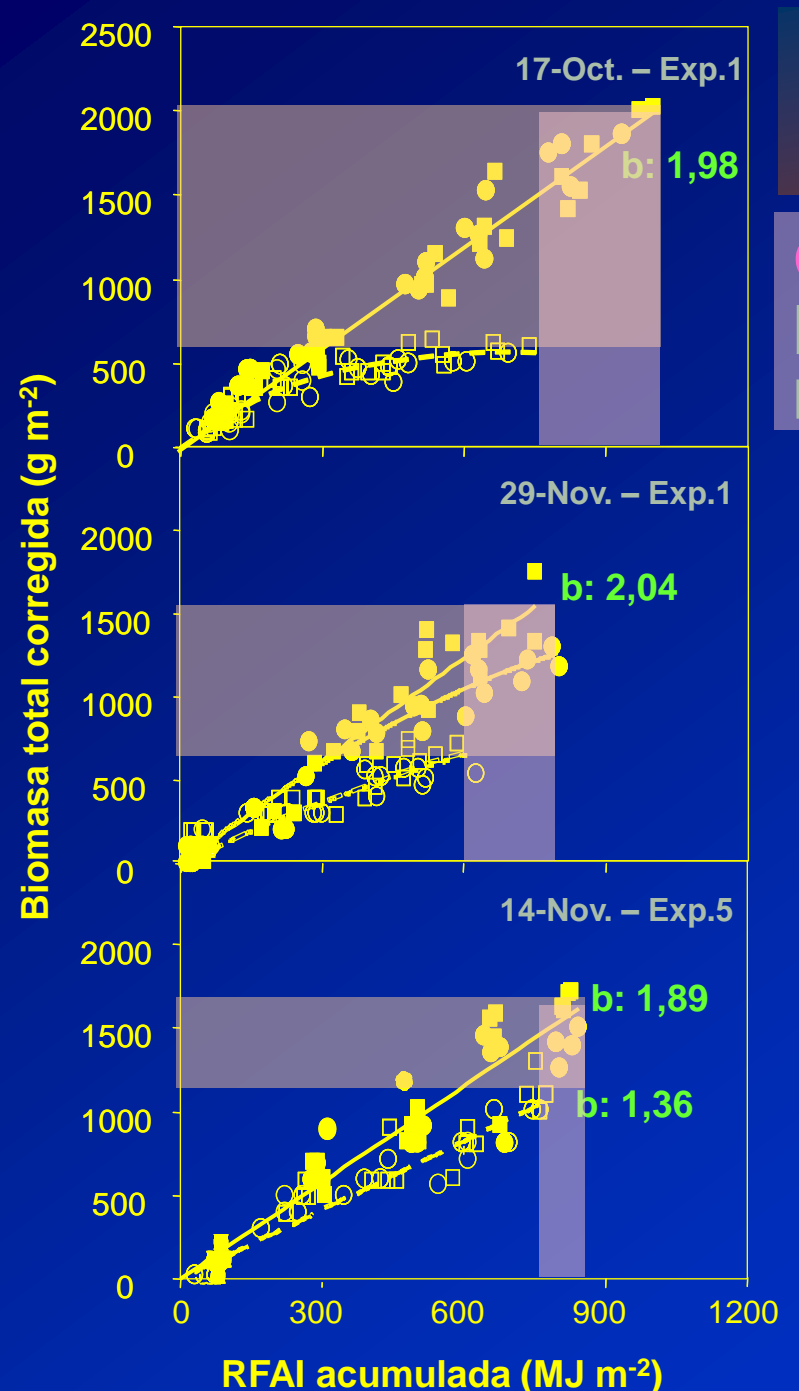


Fig. 3. The relationship of total crop biomass to cumulative intercepted solar radiation for four peanut cultivars grown in 1990 at Gainesville, FL. Linear regression equations: Y = 1.01(X) - 4.25 and Y = 0.76(X) + 150.46 for early and late season, respectively. The last four data points (>1400 MJ) were not included in the regression analysis due to incidence of leafspot disease.

Estadíos Vegetativos

Estadíos Reproductivos



Variaciones de la EUR ante la Disponibiliad Hídrica

Cambios en la **E**_i: menor captura de luz [e.g. < intercepción (IAF < IAF crítico) y plegamiento foliar]



Cambios en la **E**_c: reducción de la tasa de

asimilación de carbono por:

- (i) <u>Efectos directos</u>: cierre estomático,
- (ii) <u>Efectos indirectos</u> retrocontrol del tamaño del destino sobre la actividad de la fuente

Haro et al., 2008. Field Crops Research 109: 24-33.

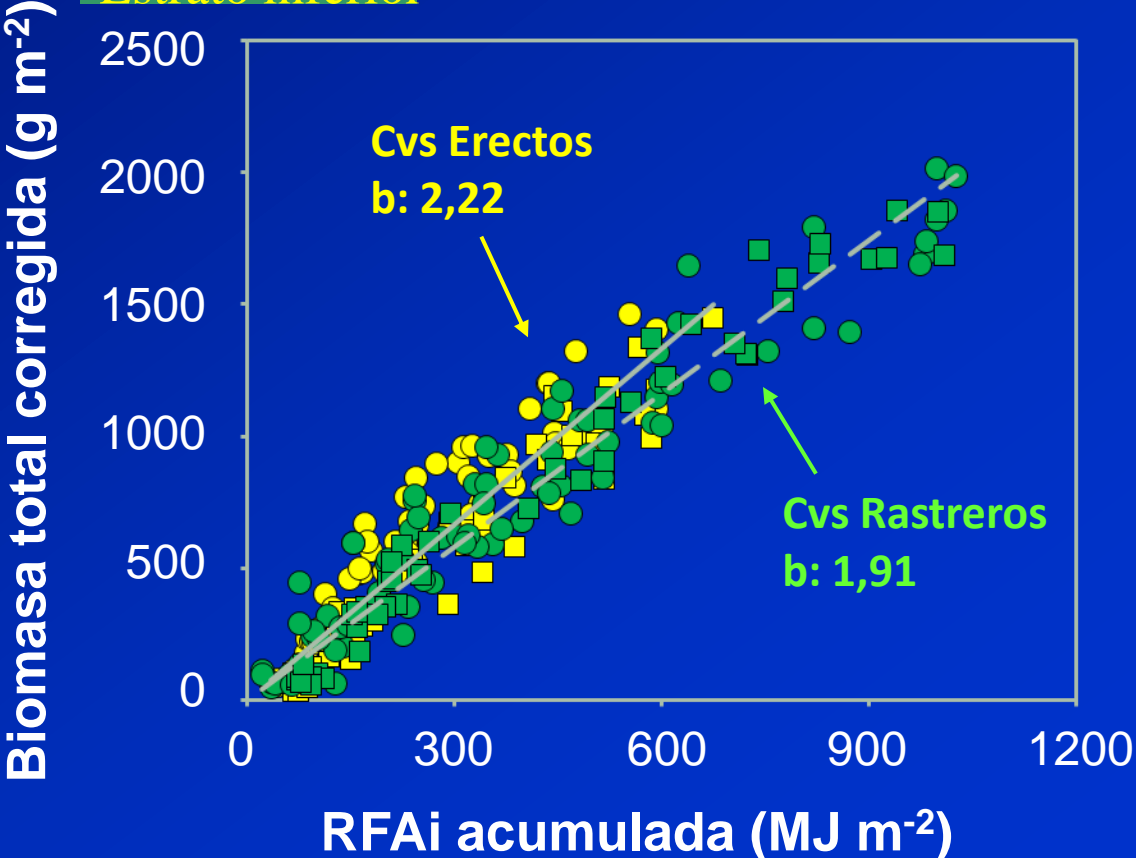






Variaciones de la EUR ante el Hábito de Crecimiento

Haro et al. (). Field Crops Research: bajo revisión.





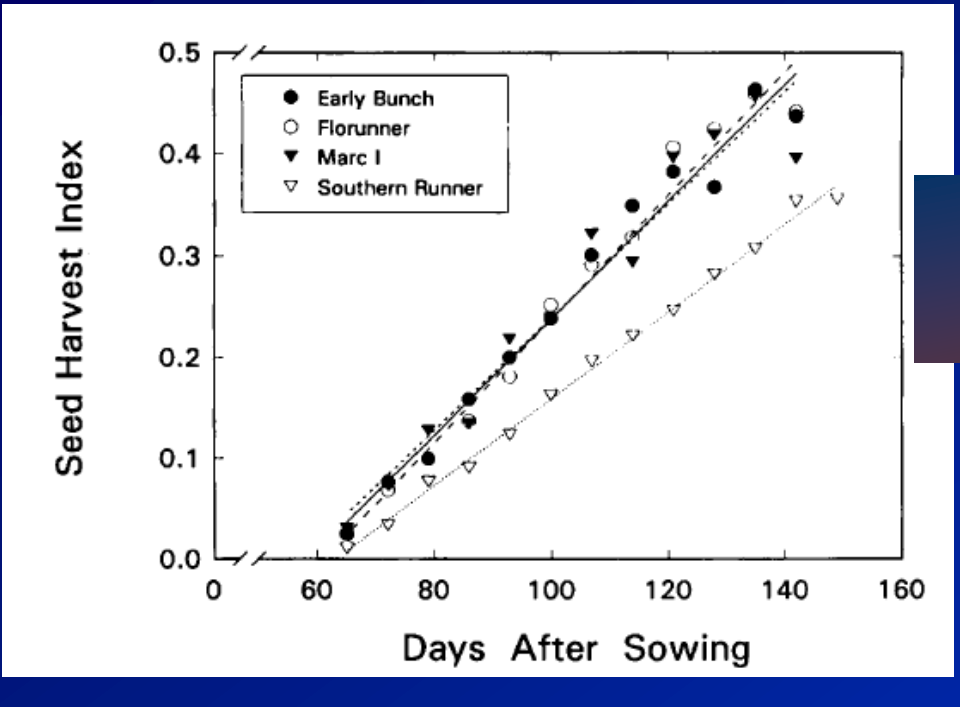




Rendimiento: Biomasa x Índice de Cosecha

Índice de Cosecha

Cuanto de la Biomasa Total representan las Vainas o los Granos



Bennett et al., 1993. Peanut Science, 20: 1-5.

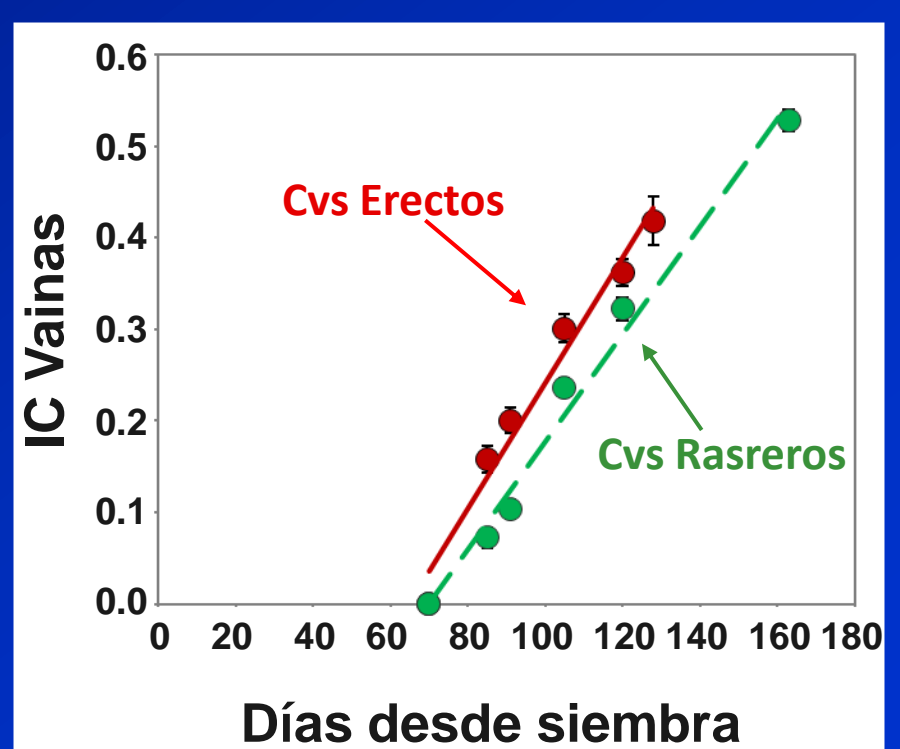
Variabilidad según Hábito de Crecimiento

Haro et al. (). Field Crops Research: bajo revisión.



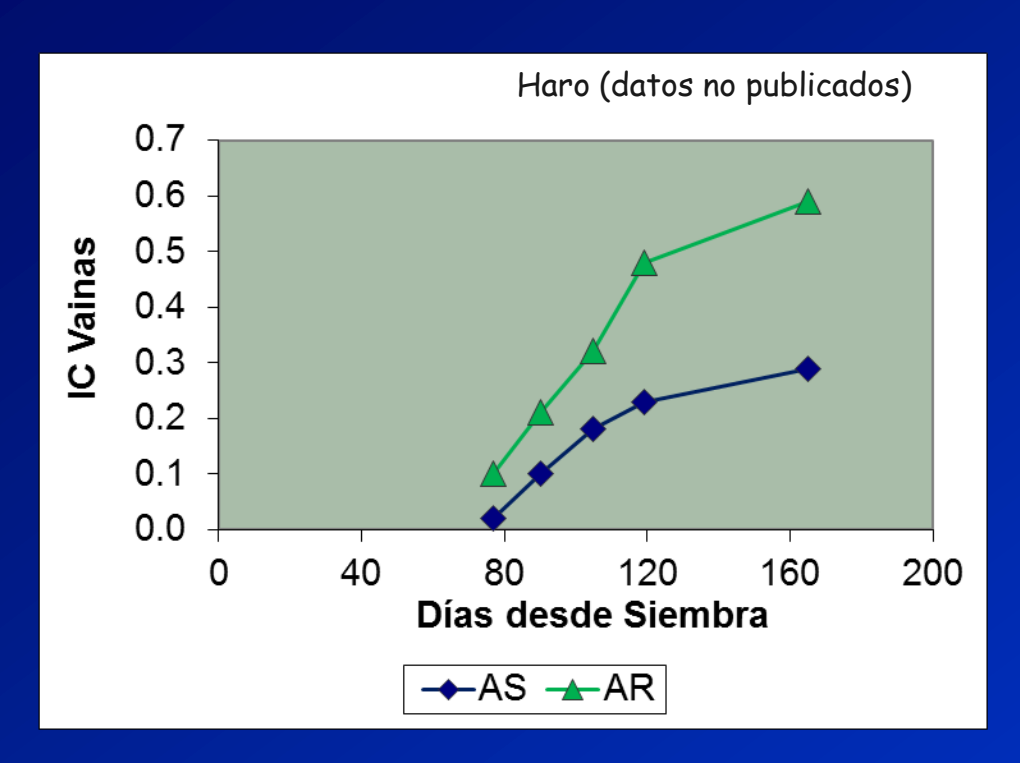


Variabilidad según Cultivares





Variabilidad según Disponibilidad Hídrica



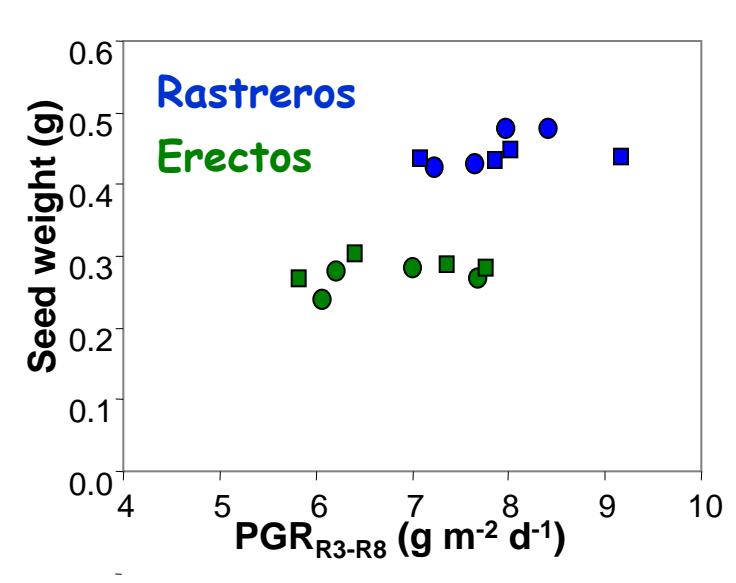


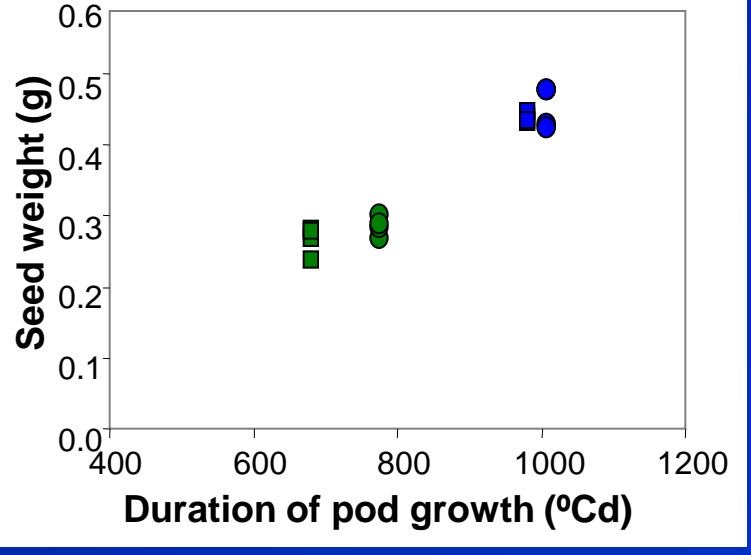


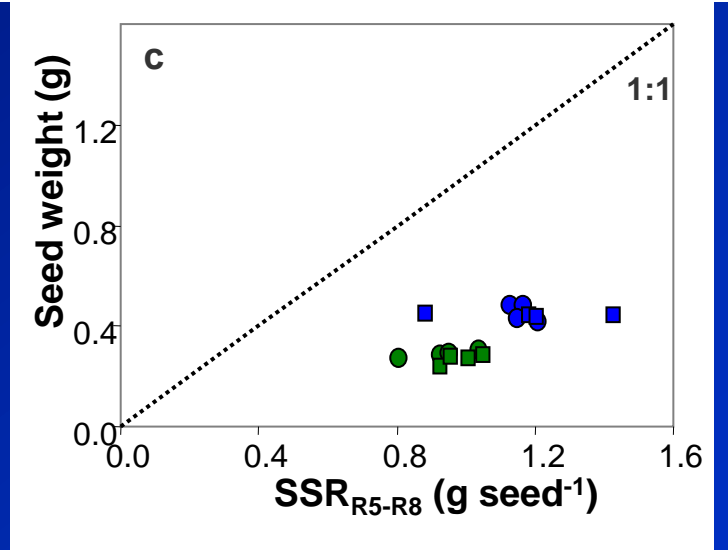


Peso del Grano

PG: TCG x Durac. Crec. Grano



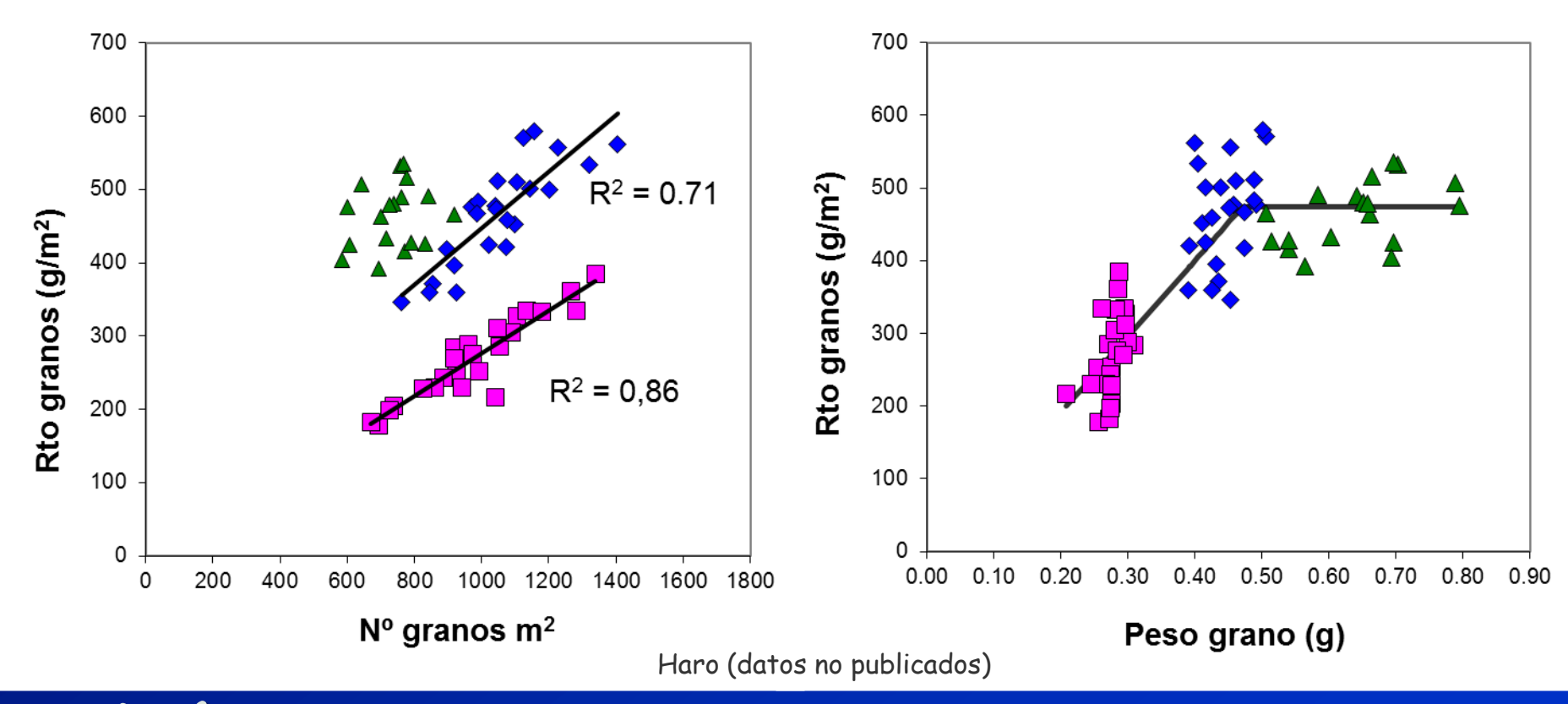




Emplear ese exceso de Fuente (sobra canopeo) al logro de una mayor Nº de Granos

Haro et al., 2013. Field Crops Research 149: 76-83.

RENDIMIENTO = N° GRANOS x PESO GRANOS



¿Cómo continuamos para Incrementar los Rendimientos?

"Aumentar el Número de Granos"





Dinámica de Floración asimétrica (temprana)

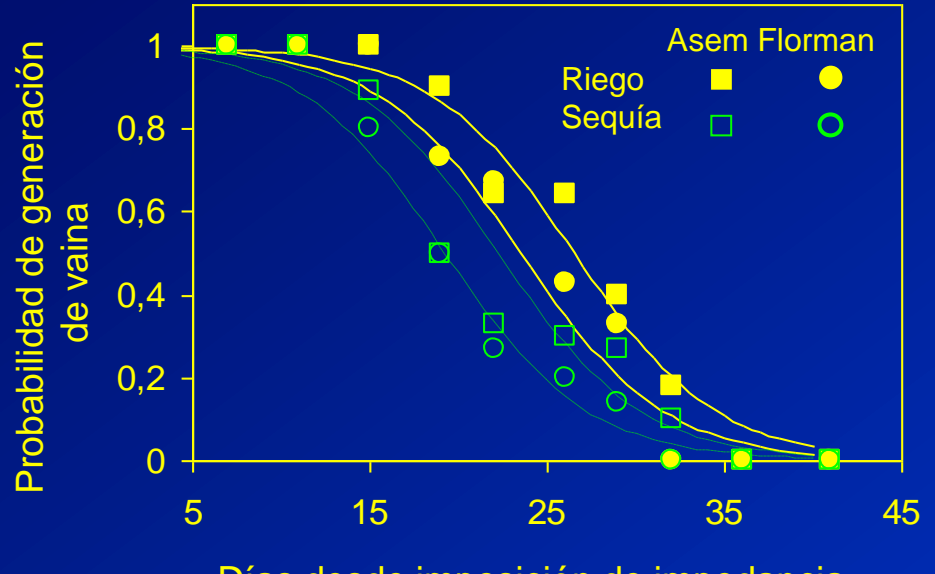


Impedancia al enclavado





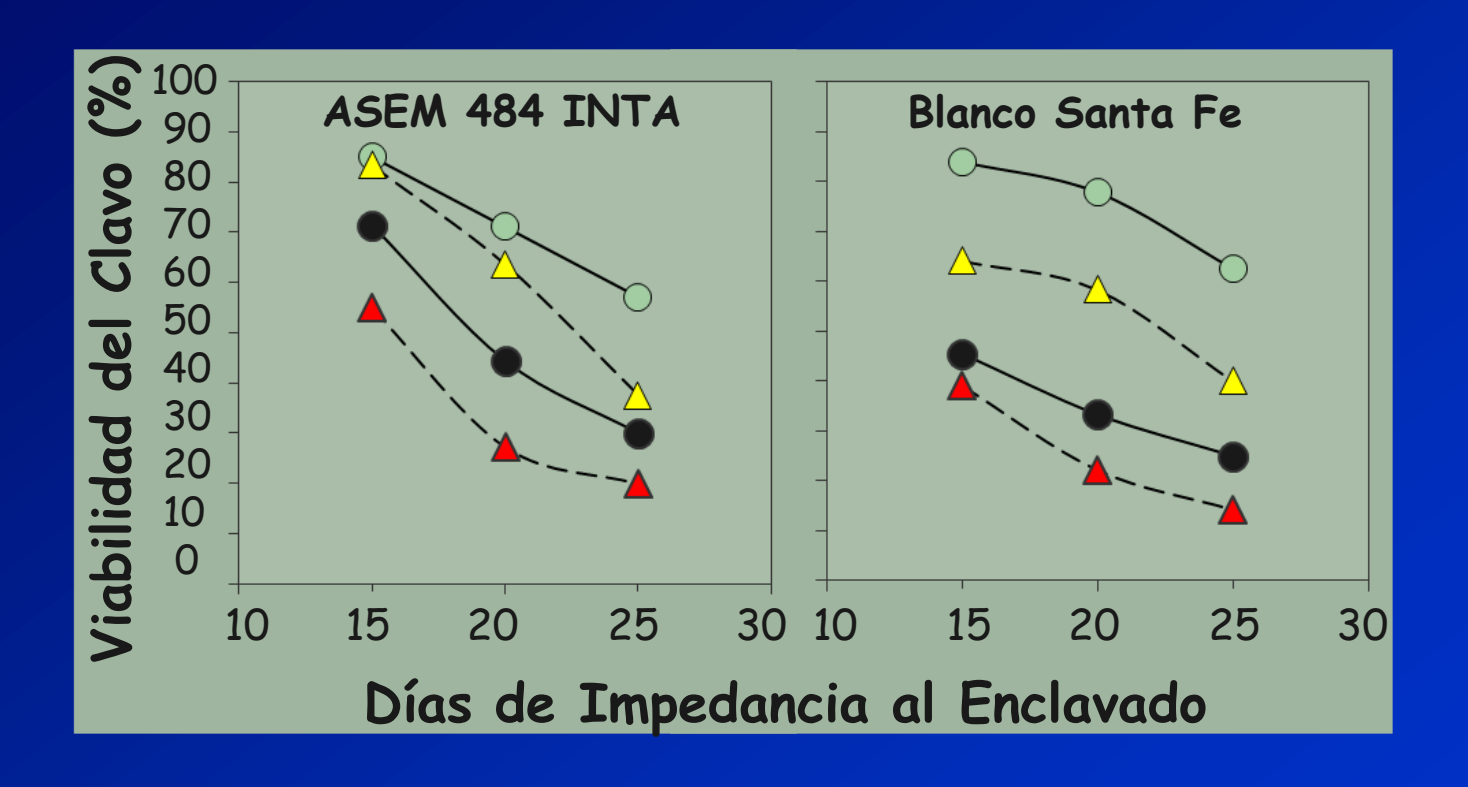




Haro et al., 2011. Flora 206: 865-871.

Días desde imposición de impedancia





Riego + No Térmico

Riego + Sí Térmico

Sequía + No Térmico

Sequía + Sí Térmico

Cárrega et al., 2016. Encontro do Amendoim, S.P., Brasil. Los efectos de la Impedancia al Enclavado sobre la viabilidad de los clavos dependen de (i) duración del período de impedancia y (ii) estatus hídrico de la planta.

La Impedancia al Enclavado puede implicar estrés térmico sobre el clavo.







Densidad de Siembra

A pesar de ser un cultivo plástico, ccuál es la densidad de siembra óptimo para alcanzar el máximo rendimiento de cada genotipo?

--- 140000 pl ha⁻¹ en Arg.

- 1) Variabilidad "entre" y "dentro" de Hábito de Crecimiento.
- 2) Considerar Hongos del Suelo (alteran la densidad programada, disminuyen el IAF (¿IAF Crítico?)).

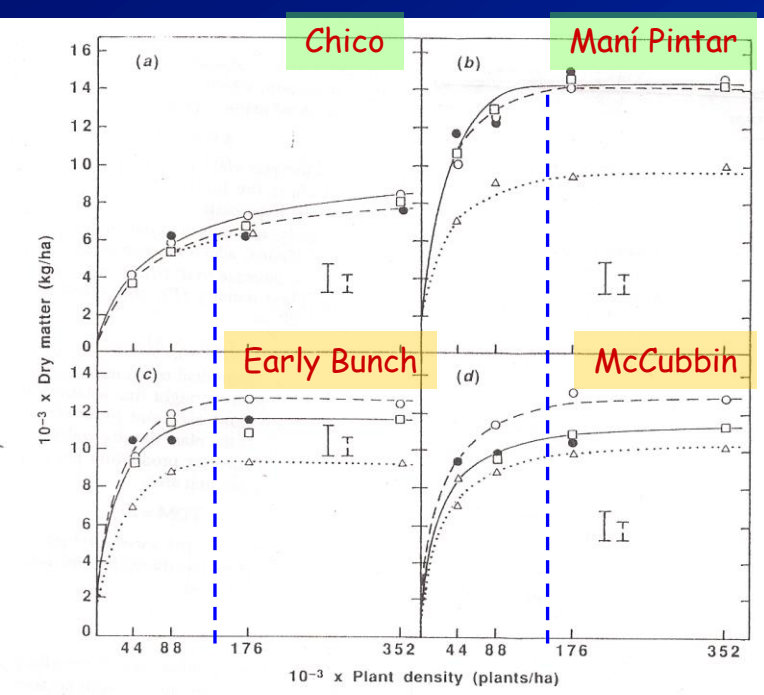


Fig. 2. Effects of plant density and sowing date on total dry matter of (a) Chico, (b) Mani Pintar, (c) Early Bunch, and (d) McCubbin. Sowing dates for 1984–85 are indicated as S1, 1.xi.84 (solid line, \square); S2, 5.xii.84 (broken line, \square); and S3, 15.i.85 (dotted line, \triangle). 1985–86 results are indicated as S4, 21.xi.85 (unjoined, \blacksquare). The 1.s.d. (P=0.05) values are indicated by solid vertical bars for 1984–85 and broken vertical bars for 1985–86. Fitted curves for each sowing date in 1984–85 were derived from the model, with the exception of SD3 Chico, where data were incomplete.

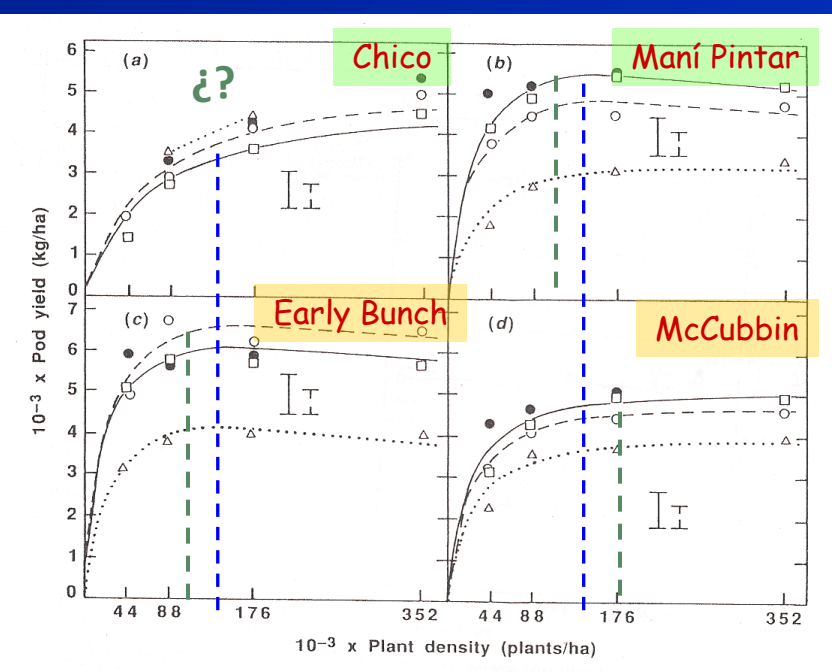


Fig. 3. Effects of plant density and sowing date on pod yields of (a) Chico, (b) Mani Pintar, (c) Early Bunch, and (d) McCubbin. Sowing dates for 1984–85 are indicated as S1, 1.xi.84 (solid line, \square); S2, 5.xii.84 (broken line, \square); and S3, 15.i.85 (dotted line, \triangle). 1985–86 results are indicated as S4, 21.ix.85 (unjoined, \blacksquare). The l.s.d. (P=0.05) values are indicated by solid vertical bars for 1984–85 and by broken vertical bars for 1985–86. Fitted curves for each sowing date in 1984–85 were derived from the model, with the exception of S3 Chico, where data were incomplete.

Spanish (erectos): Chico, McCubbin Virginia (rastreros): Early Bunch, Maní Pintar

Bell et al., 1991. Australian Journal of Experimental Agriculture 31: 535-543.



Variabilidad Dentro del Hábito de Crecimiento

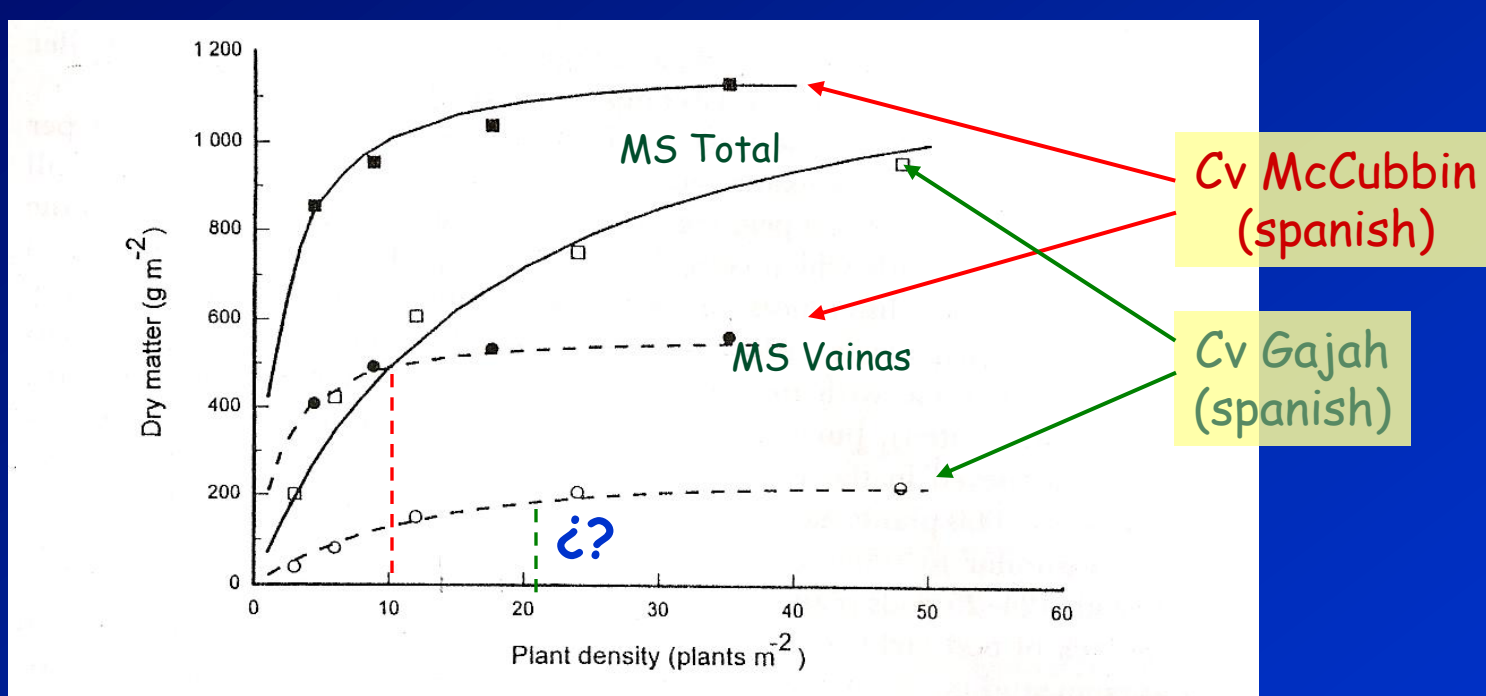


Fig. 1. Effects of plant density on production of total above-ground biomass (TDM) and pod yield (pod DM) for the Spanish groundnut cultivars McCubbin (TDM — → ; pod DM — →) grown at Kingaroy Australia and Gajah (TDM — ; pod DM — ○ —) grown at Muneng, Indonesia.

Bell and Wright, 1988. Experimental Agriculture 34: 99-112.

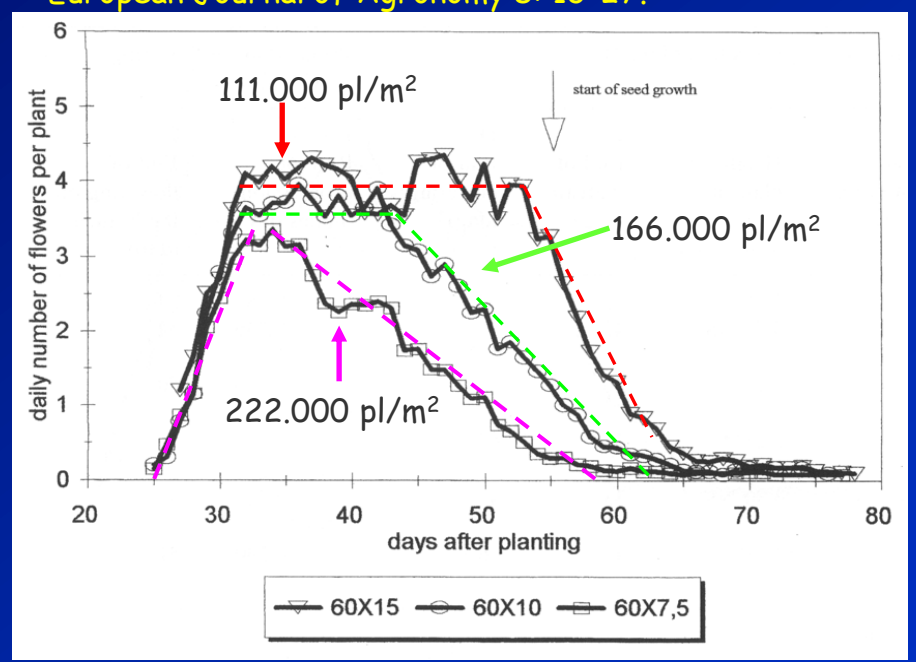


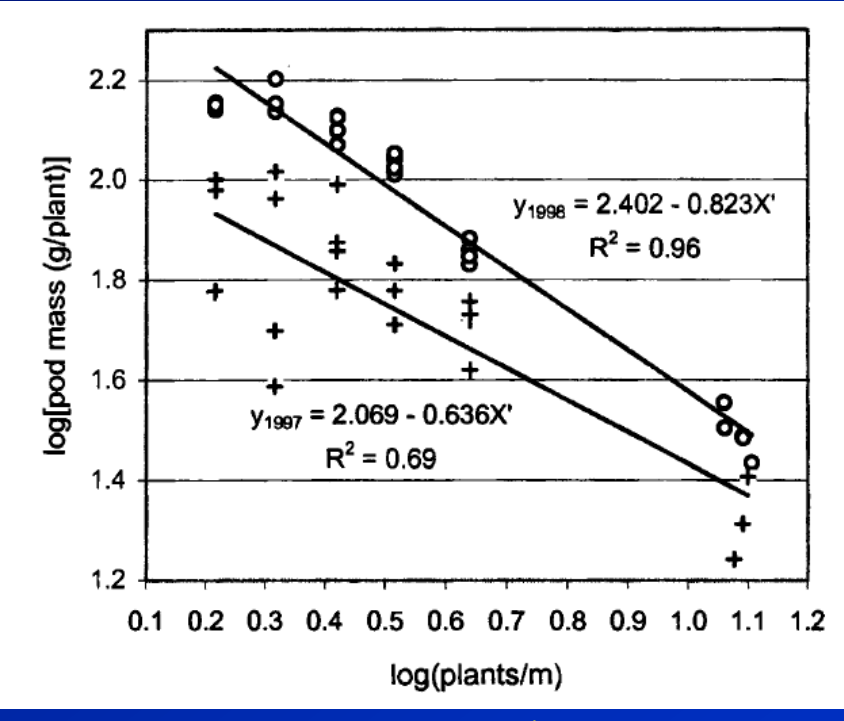


¿Cómo resulta el rendimiento de una planta ante la densidad?

> Densidad ⇒ < biomasa vainas/planta

Cattan and Fleury, 1998. European Journal of Agronomy 8: 13-27.





Sternitzke et al., 2000. Peanut Science 27: 52-56.

¿Cómo afectaría la Densidad la Fracción Maní Confitería?

> Densidad ⇒ Floración más concentrada ⇒ ¿> "proporción" de la Fracción Confitería?





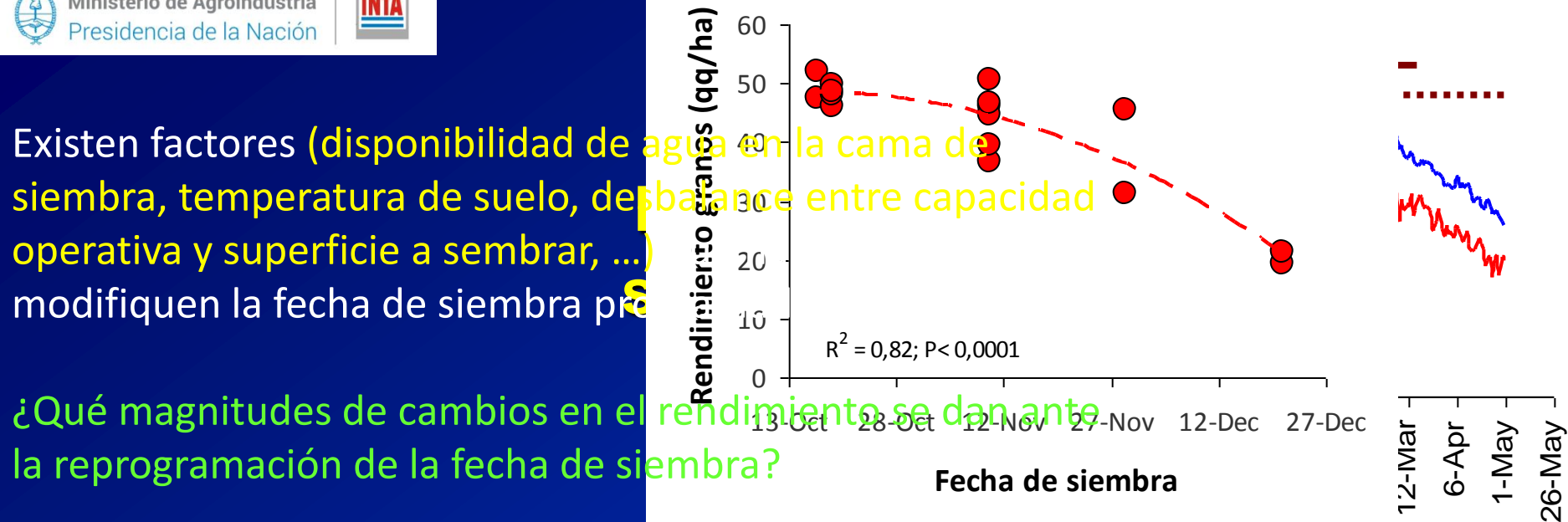
Fechas de Siembra





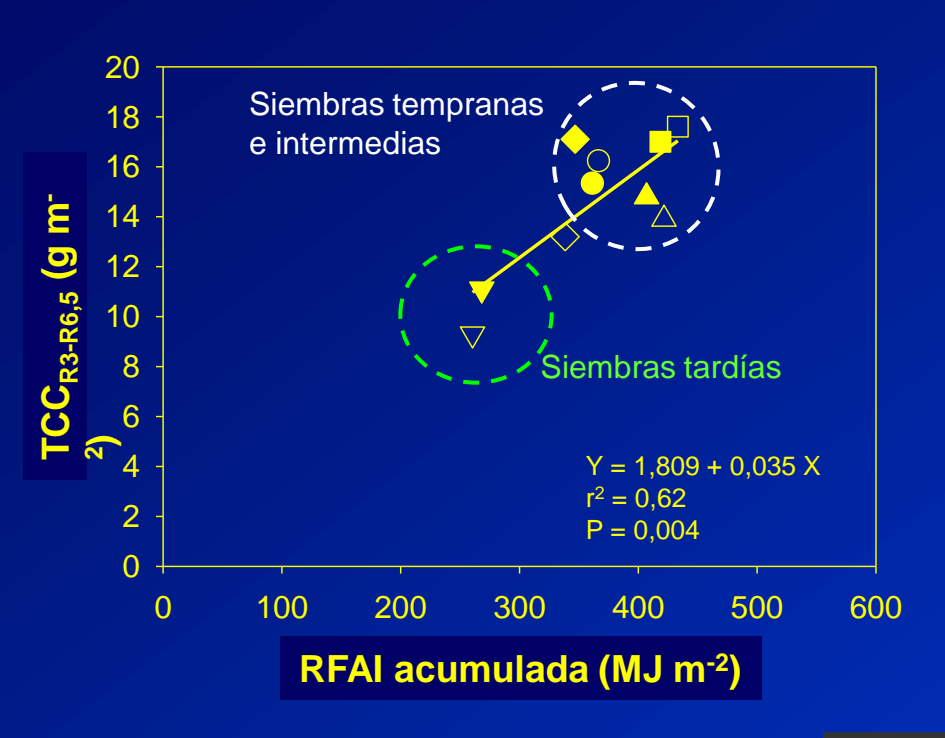
Existen factores (disponibilidad de siembra, temperatura de suelo, de

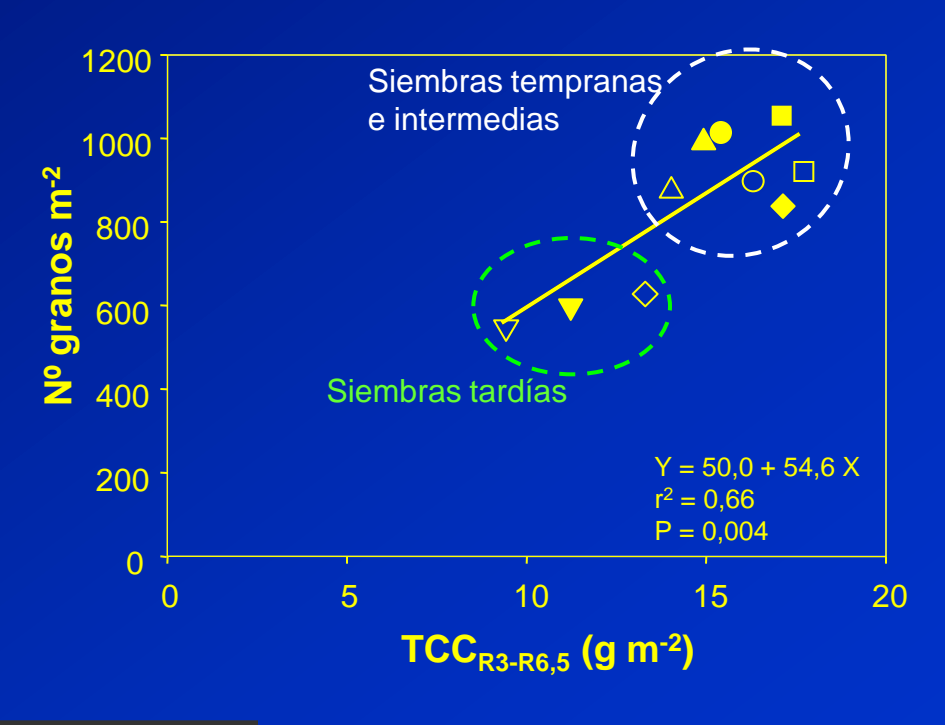
la reprogramación de la fecha de siembra?



Fecha de Siembra	Cultivar	Rdto granos (g m ⁻²)	N ⁰ granos m ⁻²	Peso grano (g)
17-Oct	Florman INTA	476	906	520
	ASEM 485 INTA	520	1023	510
14-Nov	Florman INTA	366	887	410
	ASEM 485 INTA	462	1003	460
29-Nov	Florman INTA	313	634	490
	ASEM 485 INTA	455	835	510
21-Dic	Florman INTA	193	505	360
	ASEM 485 INTA	214	605	350

Período crítico (R3-R6,5): "fijación del nº vainas"





 Asem
 Florman

 17-Oct
 ○
 ○

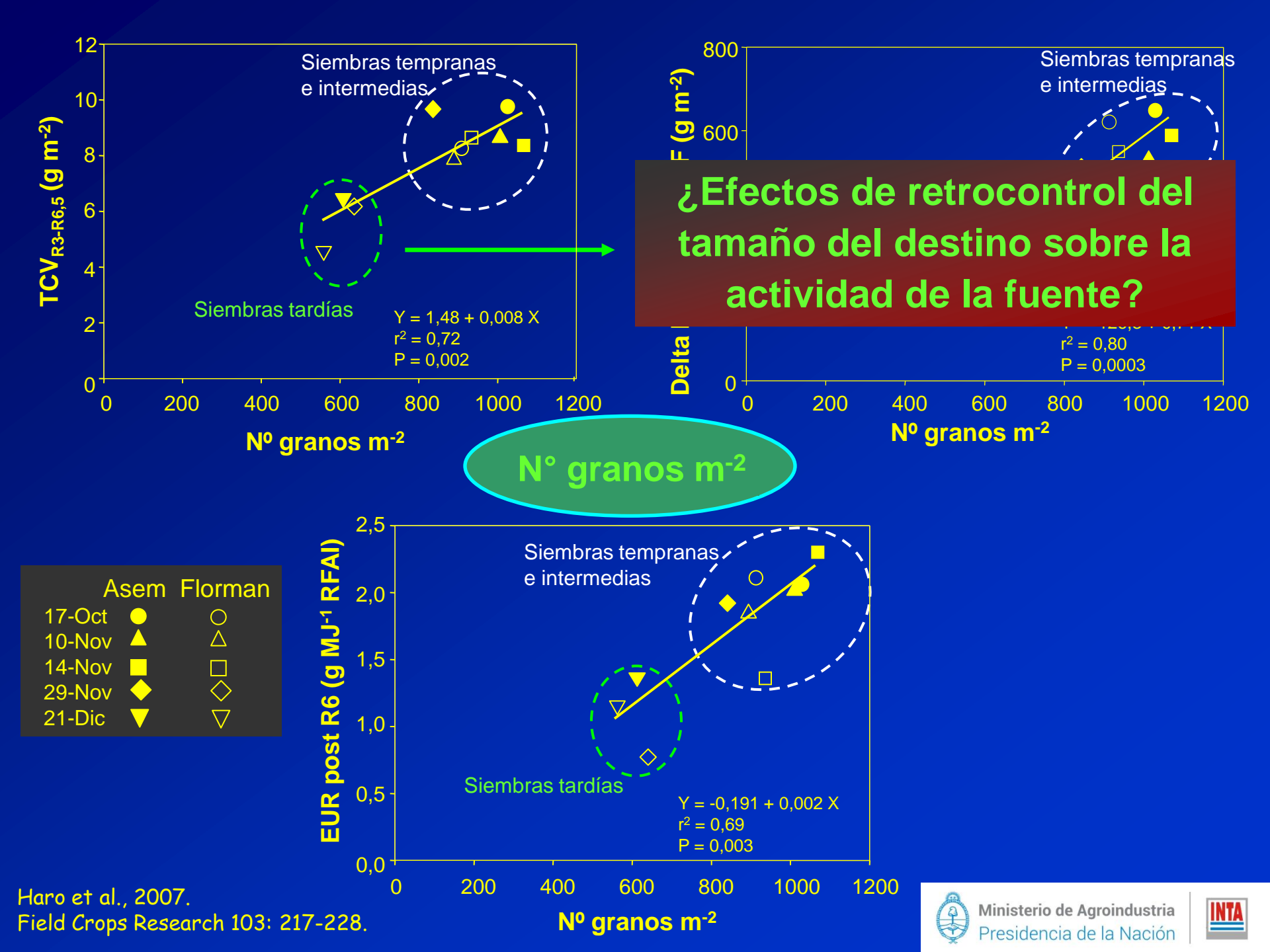
 10-Nov
 △
 △

 14-Nov
 □
 □

 29-Nov
 ◇
 ◇

 21-Dic
 ▽
 ▽

Haro et al., 2007. Field Crops Research 103: 217-228.



b: 1,9 700 400 500 600 300

RFAI acumulada (MJ m⁻²)

200

0 200

Sin emasculación 75% emasculación

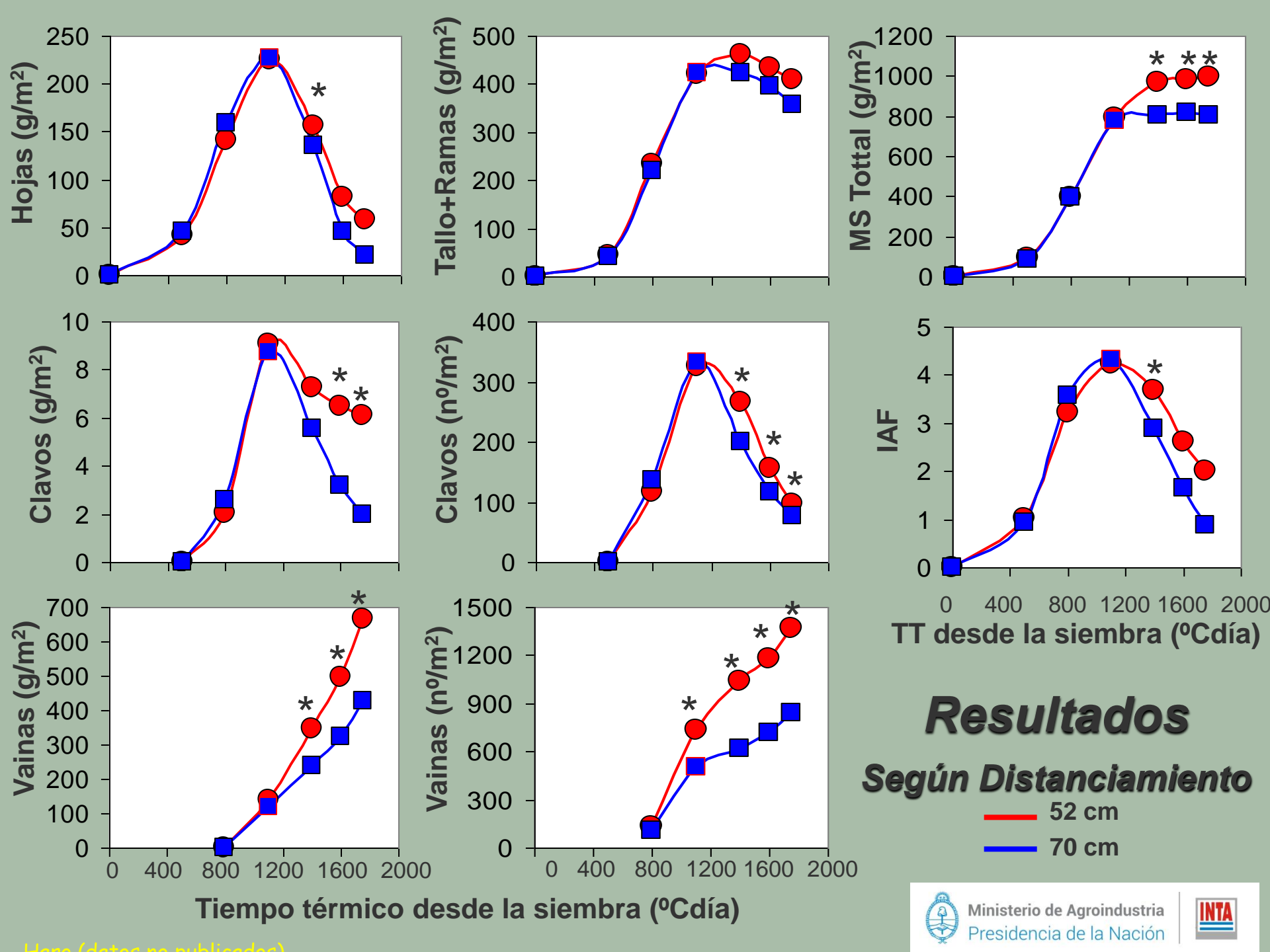


Haro et al., 2007. Field Crops Research 103: 217-228. - Siembras tempranas inducen mejoras del Rendimiento debido a mayor oferta fototermal respecto de siembras tardías.

- -Siembras tempranas implican suelos templados-frescos.

 Considerar...
- -(1) ¿Disponemos de herramientas eficaces para proteger la semilla (en el suelo) ante una lenta emergencia?
- -(2) ¿Contamos con Cvs precoces para la Emergencia?







Un Distanciamiento menor implicó mayor número de estructuras reproductivas.

	Rto	Rto	Nº 2	Nº 2	Peso	Rel.
Tratamiento	Vainas	Granos	Vainas/m ⁻	Granos/m ²	Grano	Grano/Caja
	(g/m²)	(g/m²)			(g)	
Distanciamient	0					
52	434,2 a	280,9 a	719 a	1003 a	0,28 b	0,65
70	294,8 b	186,3 b	397 b	621 b	0,30 a	0,63

Haro (datos no publicados)

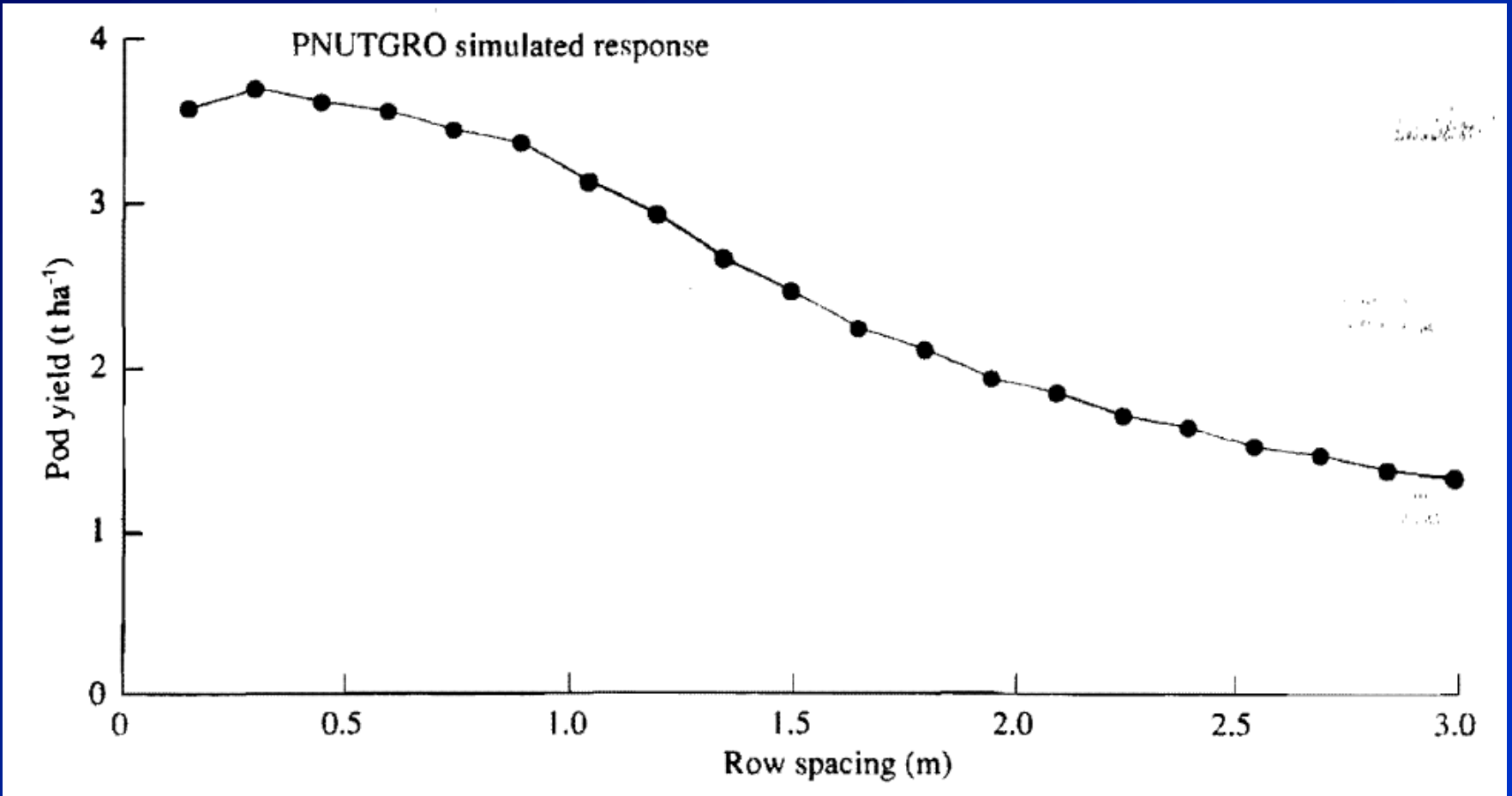


Figure 5. Simulated pod yield in response to row spacing for Robut 33-1 in 1987 at ICRISAT Center. The number of plants per unit area was constant at 32.5 plants m⁻².

- Es necesario un significativo mayor número de estudios para llegar a una conclusión definitiva.

- Si se comprueba definitivamente que achicar el Distanciamiento, en ciertos escenarios, aumenta el rendimiento ¿Cuáles podrían ser los factores que impidieran su adopción? ¿Se dispondría de maquinarias para el arrancado? ¿Arrancado no óptimo (ineficiencte inversión de la planta)? ¿Factor Cultural?





Efecto de la Sequia





Impacto del Déficit Hídrico según su momento de ocurrencia

Durante la emergencia de las plántulas:

- disminuye el stand de plantas en el lote (plantas m⁻²).

Durante el crecimiento vegetativo:

- disminuye la tasa de producción de hojas, la duración del área foliar, el tamaño de las hojas y el largo de entrenudos.
- aumenta el crecimiento de raíces en profundidad.

Durante la floración:

- disminuye el número de flores y la eficiencia reproductiva de flores.

Durante la formación y penetración de clavos, y formación de frutos:

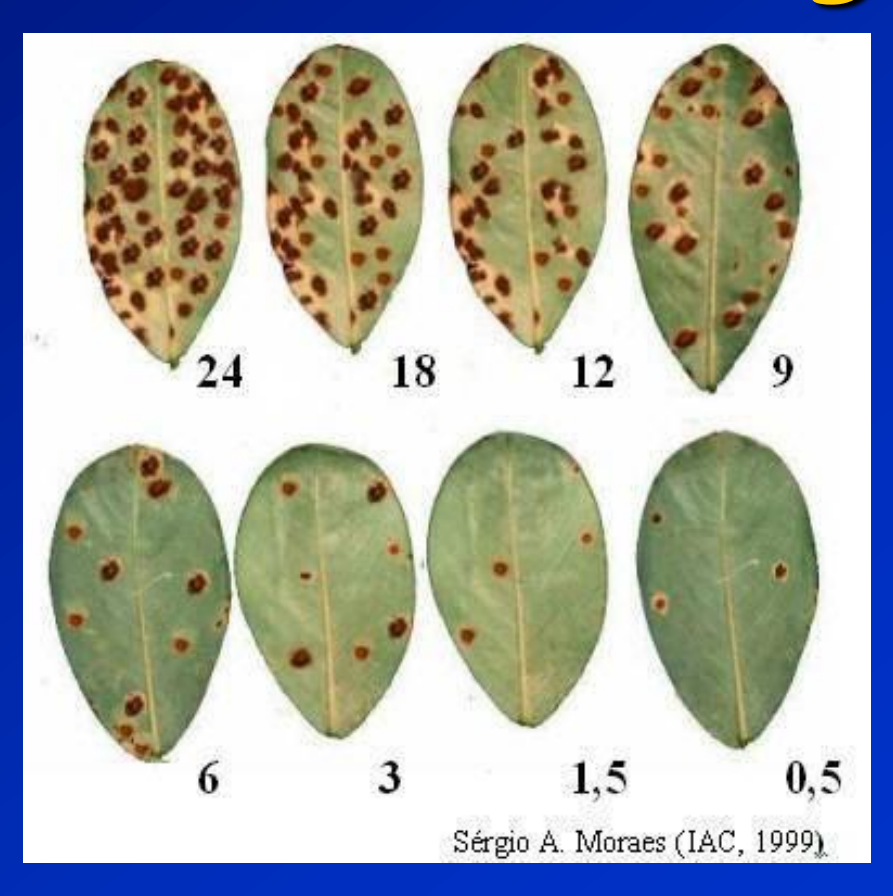
- disminuye la turgencia celular ⇒ menor expansión de clavos.
- aumenta la resistencia a la penetración del suelo ⇒ menor penetración de clavos y formación de frutos.

Durante el llenado de granos:

- disminuye la tasa de crecimiento de frutos ⇒ menor peso medio de granos.



Efecto de la Viruela sobre Respuestas Fisiológicas



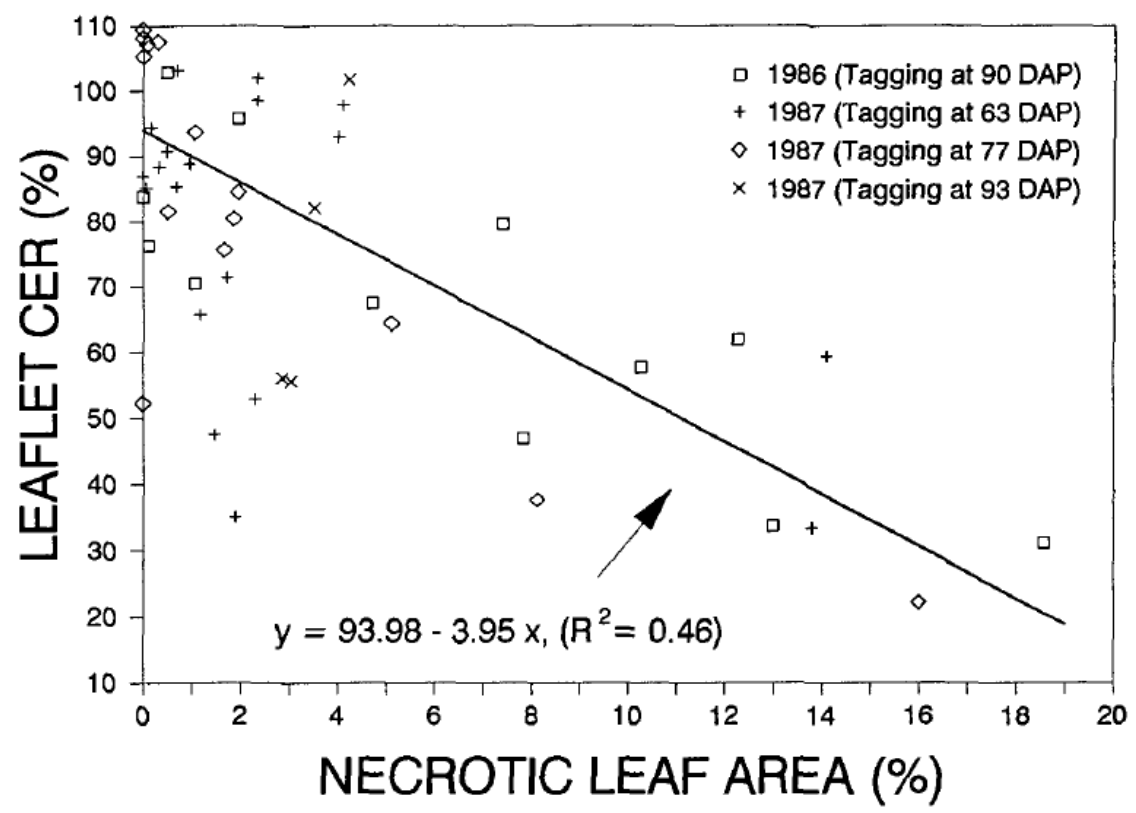
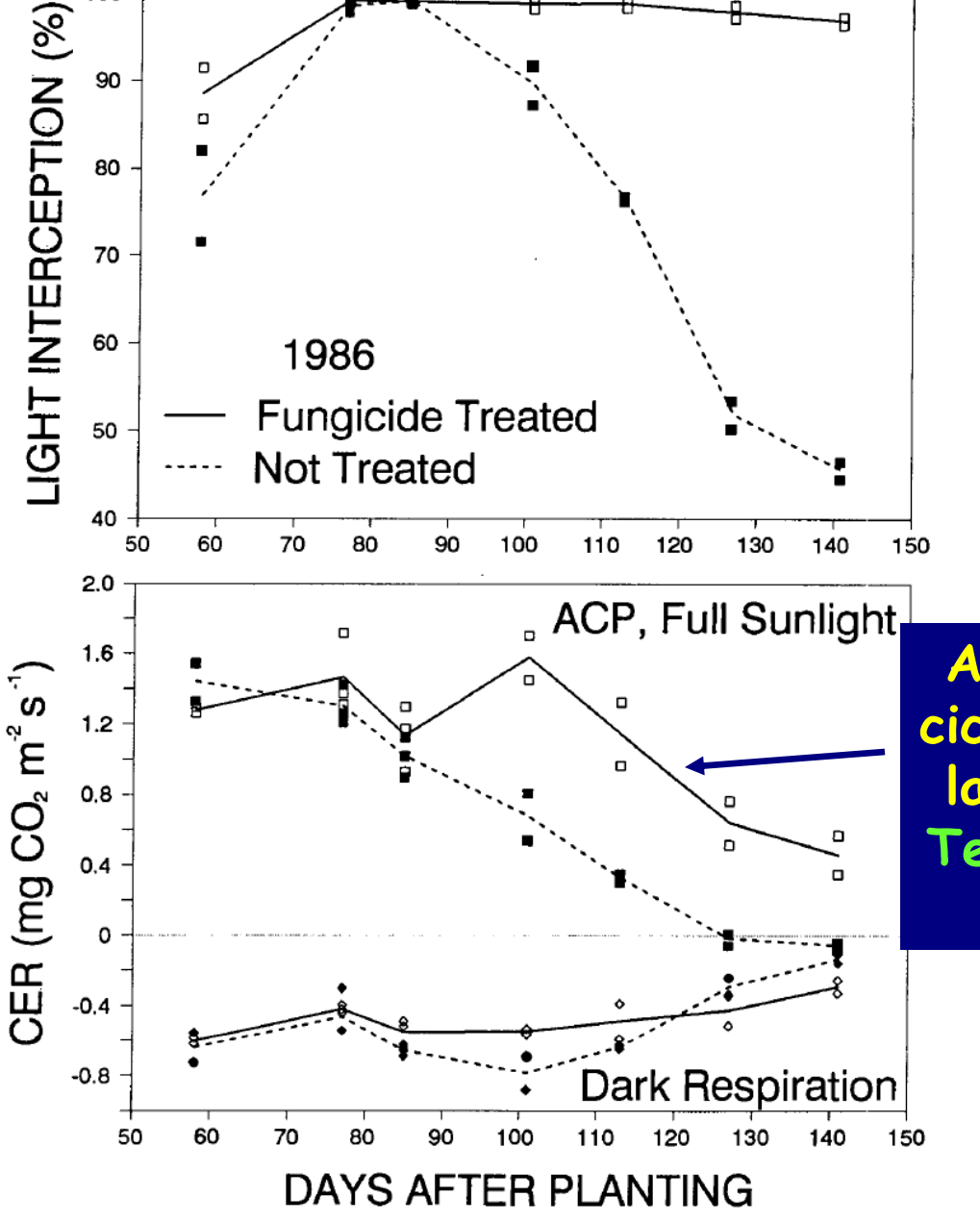


Fig. 1. Effect of the percentage necrotic leaf area on leaflet carbon exchange rate (CER), which was expressed as the percentage of leaflet CER in fungicide-treated plots. Each point represents a computed percentage from two CER measurements in the same block (CER of untreated leaflet / CER of fungicide-treated leaflet × 100).





A medida que avanza el ciclo del cultivo disminuye la oferta Radiativa y la Temperatura, y progresa la Senescencia

Bourgeois and Boote, 1992. Agronomy Journal 84: 359-366.

Fig. 2. Light interception, apparent canopy photosynthesis (ACP), and dark respiration of fungicide-treated and non-treated peanut canopies during summer 1986. The carbon exchange rate (CER) is expressed in mg CO₂ m⁻² s⁻¹.

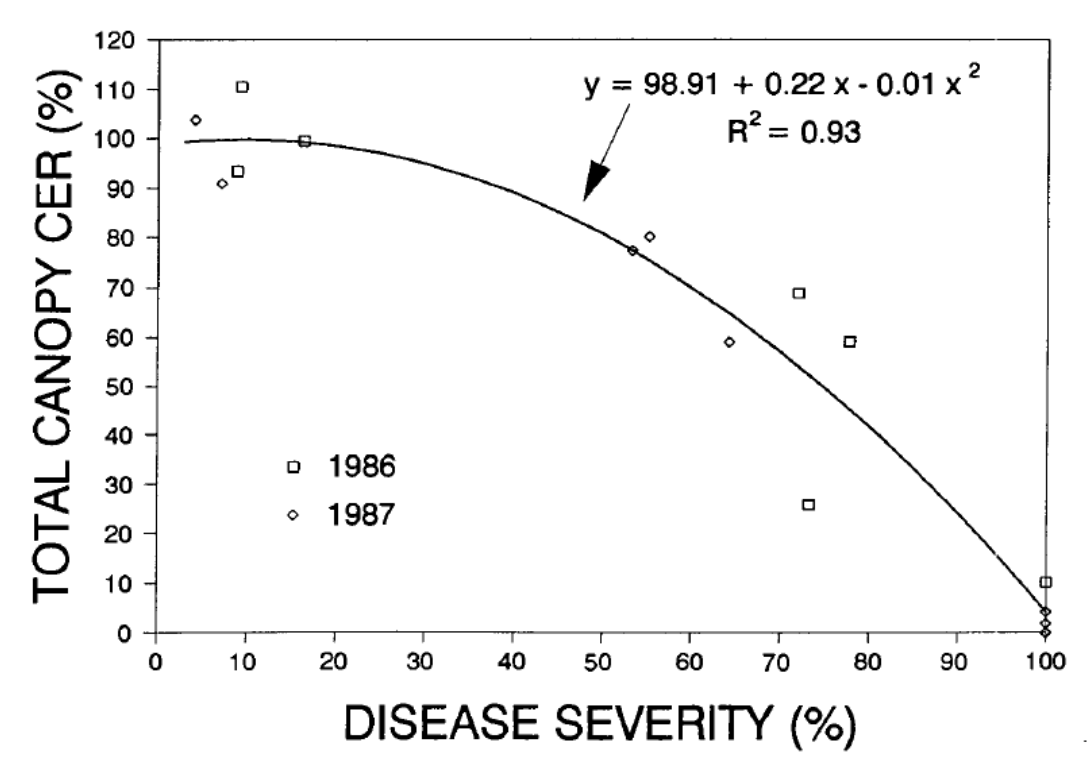


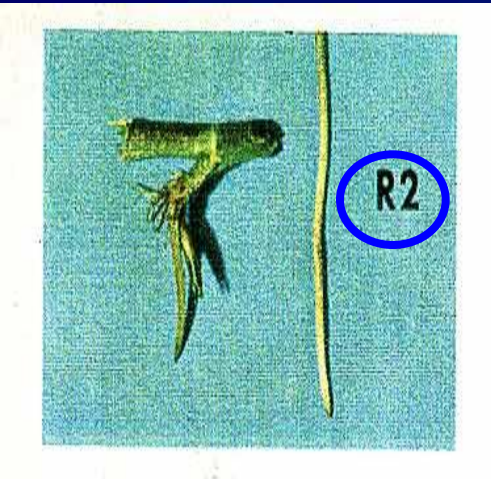
Fig. 4. Effect of disease severity on total conopy photosynthesis (TCP) expressed as a percentage of TCP measured in fungicide-treated plots on the same date.



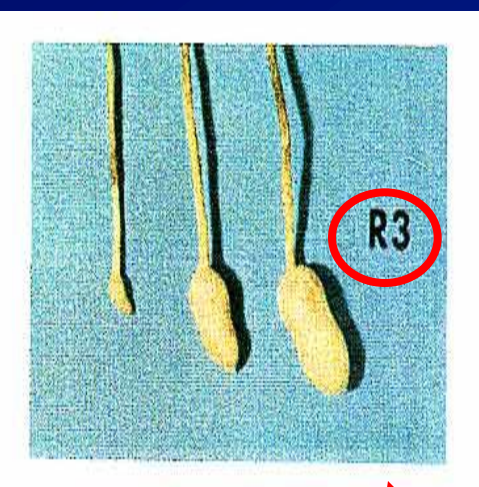
Considerar el momento de ocurrencia de la Viruela (Temprana y Tardía) para entender sobre qué componentes del rendimiento estará incidiendo.



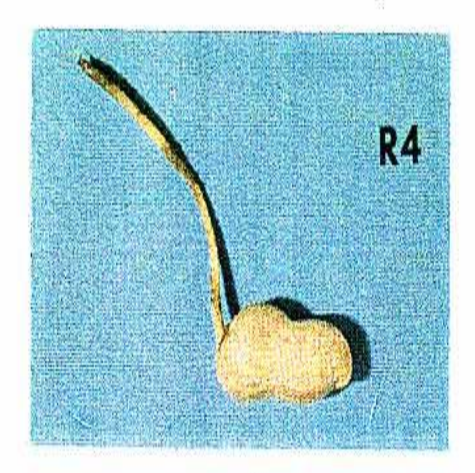
Muchas Gracias!!



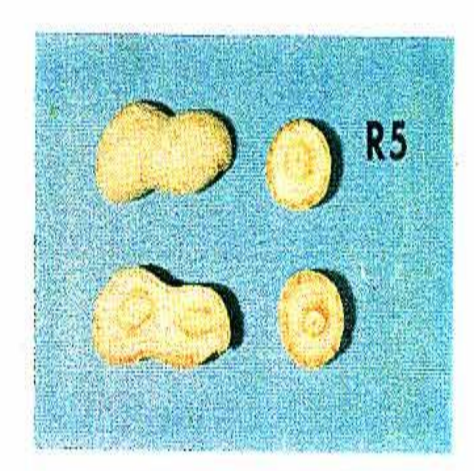
R2, Beginning peg



R3, Beginning pod

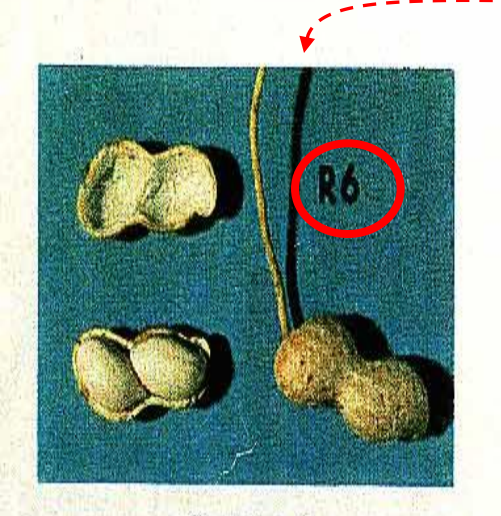


R4, Full pod

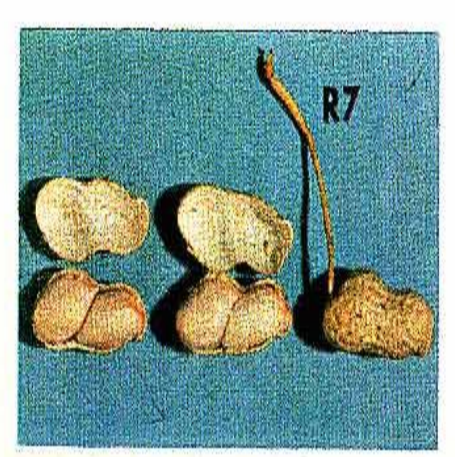


R5, Beginning seed

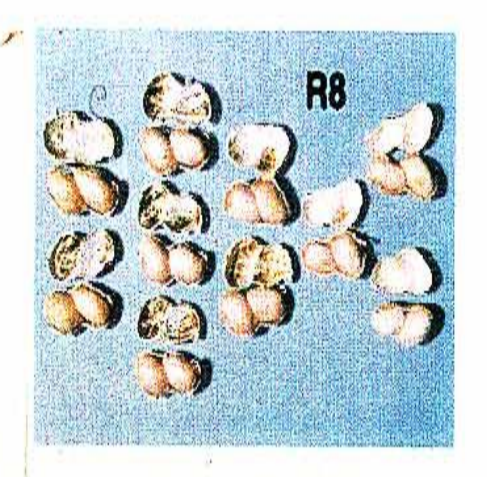
Período Crítico



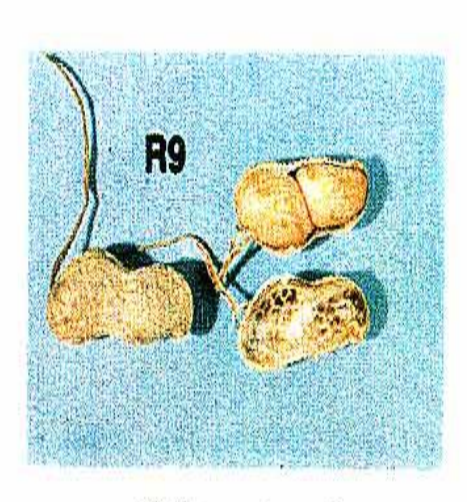
R6, Full seed



R7, Beginning maturity



R8, Harvest maturity



R9, Over-mature pod